

# **Analýza termodynamických jevů při aplikaci brousících kotoučů na bázi sintrovaných korundů**

Bc. Silvie Vrbová

---

Diplomová práce  
2014



Univerzita Tomáše Bati ve Zlíně  
Fakulta technologická

---

Univerzita Tomáše Bati ve Zlíně  
Fakulta technologická  
Ústav výrobního inženýrství  
akademický rok: 2013/2014

## ZADÁNÍ DIPLOMOVÉ PRÁCE (PROJEKTU, UMĚleckéHO DÍLA, UMĚleckéHO VÝKONU)

Jméno a příjmení: Bc. Silvie Vrbová

Osobní číslo: T12516

Studijní program: N3909 Procesní inženýrství

Studijní obor: Řízení jakosti

Forma studia: kombinovaná

Téma práce: Analýza termodynamických jevů při aplikaci brousících kotoučů na bázi sintrovaných korundů

Zásady pro vypracování:

Teoretická studie procesu broušení se zaměřením na materiál ČSN 414 109.4, DIN 100Cr6, kvantifikace základních vazeb s orientací na energetické aspekty brousících procesů včetně metody statistických charakteristik výsledků a výhodnocení získaných hodnot.

- 1) Vymezení základních veličin při broušení
- 2) Kvantifikace závislostí energetických faktorů broušení
- 3) Ekvivalentní tloušťka třísky
- 4) Analýza teplotních polí brousícího kotouče a broušeného povrchu
- 5) Výsledky a výhodnocení zjištěných parametrů

Rozsah diplomové práce:

Rozsah příloh:

Forma zpracování diplomové práce: tištěná/elektronická

Seznam odborné literatury:

- [1] AB SANDVIK COROMANT - SANDVIK CZ, s r.o. Příručka obrábění. Přel. M. Kudela,. 1. vydání Praha: Scientia, s r.o., 1997, s. 857, ISBN 91-97-22 99-4
- [2] KOCHMAN, K.: Technologické procesy obrábění. 1. vyd. Brno. Akademické nakladatelství CERM s r.o. Brno, 2011, s. 330, ISBN 978-80-7204-722-2
- [3] KOCHMAN, K.: Analysis of development grinding wheels on the basic of microcrystalline corundum. In Manufacturing Technology, journal for science and production, December 2010, vol. X, s. 2 - 10. ISSN 1213-2489
- [4] MASLOV, J.N.: Teorie broušení kovů. 1. vyd. Praha SNTL 1980, s. 246
- [5] Metals Handbook Volume 16, Machining. Edith Joseph R. Davis. 1 ed London, 1997, ISBN 0-02-328621-0

Vedoucí diplomové práce:

prof. Ing. Karel Kochman, DrSc.

Ústav výrobního inženýrství

Datum zadání diplomové práce:

10. února 2014

Termín odevzdání diplomové práce:

12. května 2014

Ve Zlíně dne 10. února 2014

doc. Ing. Roman Čermák, Ph.D.  
děkan



prof. Ing. Berenika Hausnerová, Ph.D.  
ředitel ústavu

Příjmení a jméno: ...Vrbová Silvie, Bc..... Obor: ...Řízení jakosti.....

## PROHLÁŠENÍ

Prohlašuji, že

- beru na vědomí, že odevzdáním diplomové/bakalářské práce souhlasím se zveřejněním své práce podle zákona č. 111/1998 Sb. o vysokých školách a o změně a doplnění dalších zákonů (zákon o vysokých školách), ve znění pozdějších právních předpisů, bez ohledu na výsledek obhajoby<sup>1)</sup>;
- beru na vědomí, že diplomová/bakalářská práce bude uložena v elektronické podobě v univerzitním informačním systému dostupná k nahlédnutí, že jeden výtisk diplomové/bakalářské práce bude uložen na příslušném ústavu Fakulty technologické UTB ve Zlíně a jeden výtisk bude uložen u vedoucího práce;
- byl/a jsem seznámen/a s tím, že na moji diplomovou/bakalářskou práci se plně vztahuje zákon č. 121/2000 Sb. o právu autorském, o právech souvisejících s právem autorským a o změně některých zákonů (autorský zákon) ve znění pozdějších právních předpisů, zejm. § 35 odst. 3<sup>2)</sup>;
- beru na vědomí, že podle § 60<sup>3)</sup> odst. 1 autorského zákona má UTB ve Zlíně právo na uzavření licenční smlouvy o užití školního díla v rozsahu § 12 odst. 4 autorského zákona;
- beru na vědomí, že podle § 60<sup>3)</sup> odst. 2 a 3 mohu užít své dílo – diplomovou/bakalářskou práci nebo poskytnout licenci k jejímu využití jen s předchozím písemným souhlasem Univerzity Tomáše Bati ve Zlíně, která je oprávněna v takovém případě ode mne požadovat přiměřený příspěvek na úhradu nákladů, které byly Univerzitou Tomáše Bati ve Zlíně na vytvoření díla vynaloženy (až do jejich skutečné výše);
- beru na vědomí, že pokud bylo k vypracování diplomové/bakalářské práce využito softwaru poskytnutého Univerzitou Tomáše Bati ve Zlíně nebo jinými subjekty pouze ke studijním a výzkumným účelům (tedy pouze k nekomerčnímu využití), nelze výsledky diplomové/bakalářské práce využít ke komerčním účelům;
- beru na vědomí, že pokud je výstupem diplomové/bakalářské práce jakýkoliv softwarový produkt, považují se za součást práce rovněž i zdrojové kódy, popř. soubory, ze kterých se projekt skládá. Neodevzdání této součásti může být důvodem k neobhájení práce.

Ve Zlíně .....

<sup>1)</sup> zákon č. 111/1998 Sb. o vysokých školách a o změně a doplnění dalších zákonů (zákon o vysokých školách), ve znění pozdějších právních předpisů, § 47 Zveřejňování závěrečných prací:

(1) Vysoká škola nevyúčitelně zveřejňuje disertační, diplomové, bakalářské a rigorózní práce, u kterých proběhla obhajoba, včetně posudku oponentů a výsledku obhajoby prostřednictvím databáze kvalifikačních prací, kterou spravuje. Způsob zveřejnění stanoví vnitřní předpis vysoké školy.

(2) Disertační, diplomové, bakalářské a rigorózní práce odevzdané uchazečem k obhajobě musí být též nejméně pět pracovních dnů před konáním obhajoby zveřejněny k nahlédnutí veřejnosti v místě určeném vnitřním vnitřním předpisem vysoké školy nebo nemí-li tak určeno, v místě provozovatele vysoké školy, kde se má konat obhajoba práce. Každý si může ze zveřejněné práce požádat na své náklady výpis, opisy nebo rozmnoženiny.

(3) Platí, že odevzdáním práce autor souhlasí se zveřejněním své práce podle tohoto zákona, bez ohledu na výsledek obhajoby.

<sup>2)</sup> zákon č. 121/2000 Sb. o právu autorském, o právech souvisejících s právem autorským a o změně některých zákonů (autorský zákon) ve znění pozdějších právních předpisů, § 35 odst. 3:

(3) Do práva autorského také nezasahuje škola nebo školské či vzdělávací zařízení, užije-li někdo za účelem přímého nebo nepřímého hospodářského nebo obchodního prospěchu i výuce nebo k vlastní potřebě úlohy vytvořené žákem nebo studentem ke zpracování školních nebo studijních povinností vyplývajících z jeho právního vztahu ke škole nebo školskému či vzdělávacímu zařízení (školní dílu).  
§ 121/2000 Sb. o právu autorském, o právech souvisejících s právem autorským a o změně některých zákonů (autorský zákon) ve znění pozdějších právních předpisů, § 90 Školní díla:  
(1) Škola nebo školské či vzdělávací zařízení mají za obvyklých podmínek právo na užívání licenční smlouvy o užívání školního díla (§ 35 odst. 3). Odpláňil autor takového díla udělit svolení bez významného důvodu, mohou se tyto osoby domáhat nahrazení chybějícího projevu jeho vůle u soudu. Ustanovení § 35 odst. 3 zůstává nedotčeno.  
(2) Není-li sjednáno jinak, může autor školního díla své dílo užít či poskytnout jinému licenci, není-li to v rozporu s oprávněnými zájmy školy nebo školského či vzdělávacího zařízení.  
(3) Škola nebo školské či vzdělávací zařízení jsou oprávněny požadovat, aby jim autor školního díla z výdělku jím dosaženého v souvislosti s užíváním díla či poskytnutím licence podle odstavce 2 přiměřeně přispěl na úhradu nákladů, které na vytvoření díla vynaložily, a to podle okolnosti až do jejich skutečné výše; přitom se přihlédne k výši výdělku dosaženého školou nebo školským či vzdělávacím zařízením z užívání školního díla podle odstavce 1.

## **ABSTRAKT**

Tato diplomová práce je zaměřena na analýzu termodynamických jevů při broušení kotouči s obsahem sintrovaného korundu. Teoretická část popisuje vymezení základních veličin při broušení, kvantifikaci závislostí energetických faktorů a ekvivalentní tloušťku třísky. Experimentální část vyhodnocuje sledované hodnoty parametrů broušení.

Klíčová slova:

Termodynamické jevy, broušení, sintrovaný korund

## **ABSTRACT**

This diploma work focused on analysis of thermodynamic phenomena during grinding discs containing sintered corundum. The theoretical part describes the definition of basic parameters for grinding; quantify the dependence of energy factors and equivalent chip thickness. The experimental section evaluates the monitored parameter values grinding.

Keywords:

Thermodynamic Effect, Grinding, Sintered Corundum

## **Poděkování**

Tento cestou děkuji panu prof. Ing. Karlu Kocmanovi, DrSc., za cenné rady, vstřícnost a čas věnovaný konzultacím při vedení této diplomové práce.

Prohlašuji, že odevzdaná verze bakalářské/diplomové práce a verze elektronická nahraná do IS/STAG jsou totožné.

# OBSAH

<b>ÚVOD.....</b>	<b>11</b>
<b>I TEORETICKÁ ČÁST.....</b>	<b>12</b>
<b>1 VYMEZENÍ ZÁKLADNÍCH VELIČIN PŘI BROUŠENÍ.....</b>	<b>13</b>
1.1 VÝZNAM BROUŠENÍ A HODNOCENÍ SOUČASNÉHO STAVU V TRŽNÍM PROSTŘEDÍ.....	14
1.2 CHARAKTERISTIKA ZÁKLADNÍCH VELIČIN U PROCESU BROUŠENÍ.....	15
1.3 KINEMATIKA BROUŠENÍ .....	17
1.4 TERMINOLOGIE ZÁKLADNÍCH METOD BROUŠENÍ .....	18
1.4.1 Brousicí nástroje.....	20
1.4.2 Označení brousicích kotoučů .....	21
1.4.3 Velikost brousicích kotoučů.....	25
1.4.4 Tvar brousicího kotouče.....	25
1.4.5 Upínání brousicích kotoučů .....	25
1.5 APLIKOVANÁ BRUSIVA.....	26
1.5.1 Přírodní brusiva.....	26
1.5.2 Uměle vyrobená brusiva .....	27
<b>2 KVANTIFIKACE ZÁVISLOSTÍ ENERGETICKÝCH FAKTORŮ BROUŠENÍ .....</b>	<b>31</b>
2.1 CHARAKTERISTIKA TERMODYNAMIKY A TERMODYNAMICKÝCH JEVŮ PŘI BROUŠENÍ .....	31
2.2 ŘEZNÉ SÍLY .....	31
2.3 ENERGETICKÉ ASPEKTY.....	33
<b>3 EKVIVALENTNÍ TLOUŠŤKA TŘÍSKY .....</b>	<b>38</b>
3.1 VZNIK TŘÍSKY .....	39
<b>II PRAKTICKÁ ČÁST .....</b>	<b>41</b>
<b>4 ANALÝZA TEPLITNÍCH POLÍ BROUSICÍHO KOTOUČE A BROUŠENÉHO POVRCHU.....</b>	<b>42</b>
4.1 CÍL A METODIKA DIPLOMOVÉ PRÁCE .....	42
4.2 METODIKA EXPERIMENTU .....	42
4.2.1 Technologické podmínky měření.....	42
4.2.2 Testované brousicí kotouče .....	43
4.2.3 Charakteristika materiálu pro testování .....	44
4.2.4 Charakteristické veličiny procesu broušení v experimentu.....	44
4.3 DOPROVODNÉ TERMODYNAMICKÉ JEVY PŘI BROUŠENÍ .....	44
4.4 KVANTIFIKACE BROUSICÍHO PROCESU .....	46
4.4.1 Ekvivalentní tloušťka třísky $h_{eq}$ .....	47
4.4.2 Měrná energie broušení $e_c$ .....	47
4.4.3 Objemový výkon $U_t$ .....	47
4.4.4 Poměrný objemový obrus, (brusný poměr), $G$ .....	47
4.4.5 Součinitel účinnosti broušení $\eta$ .....	48
4.4.6 Součinitel broušení BK $\mu$ .....	48
4.4.7 Hustota tepelného toku $\phi_w$ .....	48
4.4.8 Vzniklé teplo $Q$ .....	48

4.4.9	Teplota třísek $t_t$ .....	48
4.4.10	Součinitel řezivosti BK $\xi$ .....	49
4.4.11	Součinitel broušení.....	49
4.4.12	Pasivní síla $F_p$ .....	49
4.5	STANOVENÍ TEPLITRY V POVRCHOVÝCH VRSTVÁCH OBROBKU .....	49
4.5.1	Výsledky hodnot sledovaných charakteristik pro radiální záběr $a_e$ 0,005 .....	51
4.5.2	Výsledky hodnot sledovaných charakteristik pro radiální záběr $a_e$ 0,04 mm.....	52
4.6	GRAFICKÉ ZNÁZORNĚNÍ ZÁVISLOSTI .....	53
4.6.1	Závislost efektivního výkonu při broušení materiálu ČSN 14 109.4.....	53
4.6.2	Závislost teploty obrobku na vzdálenosti od kontaktu brousicího kotouče s broušenou plochou u materiálu ČSN 14 109.4 .....	54
4.6.2.1	Testovaný brousicí kotouč A99 80I 12VS.....	55
<b>5</b>	<b>VÝSLEDKY A VYHODNOCENÍ ZJIŠTĚNÝCH PARAMETRŮ .....</b>	<b>56</b>
5.1	VSTUPNÍ HODNOTY A VÝSLEDEK MĚŘENÍ PRO MATERIÁL ČSN 14 109.4 PŘI RADIÁLNÍM ZÁBĚRU $A_e$ 0,005 MM.....	56
5.2	VSTUPNÍ HODNOTY A VÝSLEDEK MĚŘENÍ PRO MATERIÁL ČSN 14 109.4 PŘI RADIÁLNÍM ZÁBĚRU $A_e$ 0,04 MM .....	57
<b>6</b>	<b>GRAFICKÉ ZNÁZORNĚNÍ A POROVNÁNÍ VÝSLEDNÝCH CHARAKTERISTIK .....</b>	<b>58</b>

6.1	MNOŽSTVÍ VZNIKU TEPLA PŘI RADIÁLNÍM ZÁBĚRU $A_E$ 0,005 MM PRO.....	58
	MATERIÁL ČSN 14 109.4 PODLE OBSAHU MIKROKRYSTALICKÉHO KORUNDU.....	58
6.2	MNOŽSTVÍ VZNIKU TEPLA PŘI RADIÁLNÍM ZÁBĚRU $A_E$ 0,04 MM PRO MATERIÁL ČSN 14 109.4 PODLE OBSAHU MIKROKRYSTALICKÉHO KORUNDU.....	58
6.3	TEPLOTA TŘÍSEK PŘI RADIÁLNÍM ZÁBĚRU $A_E$ 0,005 MM PRO MATERIÁL.....	59
	ČSN 14 109.4 PODLE OBSAHU MIKROKRYSTALICKÉHO KORUNDU.....	59
6.4	TEPLOTA TŘÍSEK PŘI RADIÁLNÍM ZÁBĚRU $A_E$ 0,04 MM PRO MATERIÁL.....	59
	ČSN 14 109.4 PODLE OBSAHU MIKROKRYSTALICKÉHO KORUNDU.....	59
6.5	MNOŽSTVÍ TEPLA PŘECHÁZEJÍCÍ DO OBROBKU PŘI RADIÁLNÍM ZÁBĚRU .....	60
	$A_E$ 0,005 MM PRO MATERIÁL ČSN 14 109.4 PODLE OBSAHU.....	60
	MIKROKRYSTALICKÉHO KORUNDU .....	60
6.6	MNOŽSTVÍ TEPLA PŘECHÁZEJÍCÍ DO OBROBKU PŘI RADIÁLNÍM ZÁBĚRU .....	60
	$A_E$ 0,04 MM PRO MATERIÁL ČSN 14 109.4 PODLE OBSAHU.....	60
	MIKROKRYSTALICKÉHO KORUNDU .....	60
6.7	MĚRNÁ ENERGIE BROUŠENÍ PŘI RADIÁLNÍM ZÁBĚRU $A_E$ 0,005 MM PRO .....	61
	MATERIÁL ČSN 14 109.4 PODLE OBSAHU MIKROKRYSTALICKÉHO KORUNDU.....	61
6.8	MĚRNÁ ENERGIE BROUŠENÍ PŘI RADIÁLNÍM ZÁBĚRU $A_E$ 0,04 MM PRO .....	61
	MATERIÁL ČSN 14 109.4 PODLE OBSAHU MIKROKRYSTALICKÉHO KORUNDU.....	61
6.9	STŘEDNÍ ARITMETICKÁ DRZNOST POVRCHU PRO RADIÁLNÍ ZÁBĚR $A_E$ 0,005 MM PRO MATERIÁL ČSN 14 109.4 PODLE OBSAHU MIKROKRYSTALICKÉHO .....	62
	KORUNDU 62	
6.10	STŘEDNÍ ARITMETICKÁ DRZNOST POVRCHU PRO RADIÁLNÍ ZÁBĚR $A_E$ 0,04 MM PRO MATERIÁL ČSN 14 109.4 PODLE OBSAHU MIKROKRYSTALICKÉHO KORUNDU .....	62
<b>ZÁVĚR</b>	.....	<b>63</b>
<b>SEZNAM POUŽITÉ LITERATURY.</b>	.....	<b>65</b>
<b>SEZNAM POUŽITÝCH SYMBOLŮ A ZKRATEK</b>	.....	<b>67</b>
<b>SEZNAM OBRÁZKŮ</b>	.....	<b>69</b>
<b>SEZNAM TABULEK</b>	.....	<b>70</b>

## ÚVOD

V naší minulosti je seznámení s broušením definováno jako opracování povrchových vrstev. Rozmach této technologie prošel mnoha různými etapami, nejvýznamnější lze označit počátek 19. století, kdy zaznamenáváme požadavky na přesnou výrobu součástí a zavedení hromadné výroby. V současnosti je tendencí výrobních podniků snaha dosahovat co nejlepší jakosti svých produktů. Úsilí o perfektní vlastnosti, efektivní produktivitu a minimalizace nákladů na výrobu je spojeno s vývojem nových technologií pro obrábění. Nízké náklady znamenají vyšší zisk a větší konkurenceschopnost podniku, která je v dnešní době významná.

Základní a také jedna z nejdůležitějších dokončovacích metod obrábění je broušení. Patří k nejvýznamnější části technologie výroby dnešní moderní doby, která umožňuje využití automatizace. Důležitým faktorem je přesnost a vysoká kvalita povrchu. Tato abrazivní metoda umožňuje zhotovení rovinné, ale i tvarové plochy. Mezi přednosti této metody je schopnost obrábění tenkých vrstev materiálu v mikrometrech. Odlišuje se od jiných metod třískového obrábění tím, že geometrie břitu zde není pevně definována. Nejčastěji používaným nástrojem je brousící kotouč. U procesu broušení vzájemné působení v místě dotyku nástroje a obráběného materiálu ovlivňuje kvalitu povrchu a také opotřebení a životnost brousícího kotouče. Mezi nejmladší typy brusných materiálů patří sintrovaný mikrostalický korund. Nedochází téměř k otupení zrn, protože odlamováním mikrokryrstalů dochází k jejich ostření. Toto brusivo je vhodné jak pro standardní použití, tak i při aplikaci broušení velmi tvrdých a houževnatých materiálů.

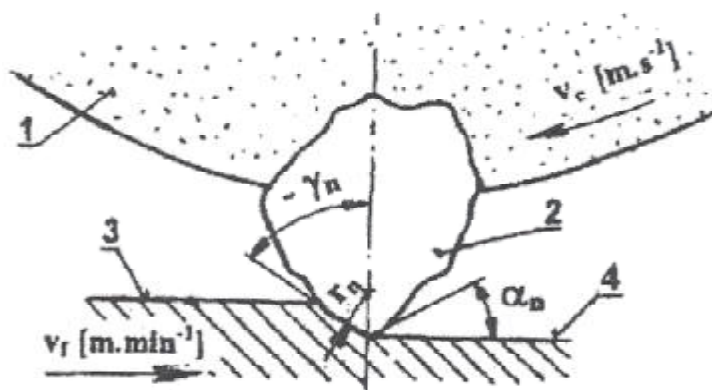
K abrazivním dokončovacím metodám patří také honování, při kterém se jakost obroběných povrchů zvyšuje řezným účinkem jemného brusiva. Další metodou je lapování, která dosahuje nejvyšší rozměrové přesnosti a nejmenší drsnosti povrchu. Produktivní metodou dokončovacího obrábění je superfinišování, zvláštní metoda, při které se odřezávají vrcholky nerovnosti pomocí velmi jemných zrn brousícího nástroje. Největší využití nachází tyto dokončovací metody v automobilovém průmyslu.

V této diplomové práci je cílem teoretická studie procesu broušení, zaměřena na materiál ČSN 14 109.4, DIN 100Cr6. Na základě dostupných poznatků bude prováděna analýza pro objasnění rozhodujících vlivů parametrů broušení, která poskytne důležité informace pro použití v praxi.

## **I. TEORETICKÁ ČÁST**

## 1 VYMEZENÍ ZÁKLADNÍCH VELIČIN PŘI BROUŠENÍ

Broušení je abrazivní metodou obrábění. Je charakteristická použitím nástrojů s nedefinovanou geometrií břitu. Abrazivní metody obrábění představují nejvíce využité aplikace při obrábění strojírenských součástí. Používají se u součástí, na které jsou kladený vysoké nároky na přesnost součásti a jakost povrchu. Do skupiny abrazivních metod obrábění patří broušení, honování, lapování a superfínišování. Z pohledu technologického výstupu jsou významné zejména dosažené parametry přesnosti obroběných ploch.[3]



Obrázek 1 Model záběru brousicího zrna

1 – brousicí kotouč; 2 – brusné zrno; 3 - obráběná plocha; 4 – povrch po broušení;

$v_c$  – řezná rychlosť;  $v_f$  - posuvová rychlosť;  $\gamma_n$  – normálový úhel čela;  $\alpha_n$  – normálový úhel hřbetu; [3]

Tato metoda je dokončovací operace, vyznačující se velkou přesností, správností geometrického tvaru a zejména velmi dobrou jakostí povrchu. V dnešní době ji řadíme mezi nejvýznamnější části technologie výroby, vzhledem k dalším možnostem se rozšiřuje z dokončovacího obrábění do oblasti hrubování. Uplatnění nachází u obráběných materiálů, které nelze obrobit použitím jiných metod, například kalená ocel či keramika nebo kde je tato metoda hospodárným přínosem. Dále můžeme broušení zařadit mezi mechanické úpravy povrchu, které vytváří požadované podmínky zlepšení mechanických vzhledových požadavků. [3,12]

Aktivní částí brousicího nástroje jsou brusná zrna, rozptýlená v mazadlech a tekutinách, ve formě volných zrn, nanesená a přilepená k pružnému podkladu nebo jsou spojena pojivem v tuhá tělesa požadovaného tvaru. Pro broušení je charakteristické nepravidelné rozložení

zrn na celém povrchu brusného kotouče. Tato zrna odebírají velké množství malých třísek. Od jiných metod třískového obrábění se liší tím, že zde není pevně definována geometrie břitu. Brusná zrna jsou vyrobena z nejtvrdších nerostů či umělých materiálů. Materiál je odebírána břity na zrnech brusiva, které mají většinou záporný úhel čela a poměrně velký úhel hřbetu. Řezná rychlosť při této metodě obrábění je mnohonásobně vyšší než prostřednictvím ostatních způsobů obrábění např. frézování či soustružení. Negativní úhly řezu jednotlivých brousicích elementů a relativně vysoká řezná rychlosť vedou ke vzniku vyššího množství tepla, které může produkovat značná reziduální napětí v tenké povrchové vrstvě několika mikrometrů. Tento aspekt rozhodující měrou značně ovlivňuje životnost dynamicky a cyklicky namáhaných povrchů. Právě při této technologii může v relativně tenké povrchové vrstvě docházet k výraznému ovlivnění vlastností, zatímco v převažující části objemu součásti se změny neprojeví. V oblasti dokončování funkčních ploch je vývoj nových technologií směřován na výrobu progresivních brousicích materiálů zaručující zvýšení výkonů a snížení teploty broušeného povrchu s brousicím kotoučem. Předpokládaným výsledkem je především zvýšení kvality broušených ploch.[2,7,11]

## 1.1 Význam broušení a hodnocení současného stavu v tržním prostředí

Dnešní tržní prostředí vyžaduje výkonné technologie, ale také moderní progresivní materiály. Napříč celým strojírenstvím, ale i v dalších příbuzných oborech se dotýká problematika broušení a kvality nově vytvářeného obroběného povrchu. Zaměřena je především na kvalitativní hodnocení jakosti povrchu a povrchové vrstvy. Dokončovacími metodami lze dosáhnout velké přesnosti, správného geometrického tvaru, nejvyšší rozměrové přesnosti a nejmenší drsnosti povrchu. Rozhodujícím faktorem pro úspěšnou výrobu a hlavně pro dnešní dobu velmi důležitou konkurenceschopnost podniku je nedílnou součástí oblast ekonomická. Neustálé snižování výrobních nákladů, avšak při stejné nebo vyšší kvalitě. Tato problematika má přímou souvislost se snížením strojních časů, časů na ostření, výměnu a dalších časů, které patří k výrobě součástí. Pro nároky dnešní doby jako je zvyšování řezných rychlostí, redukce procesních kapalin, použití CNC strojů, obráběcích center s vysokým výkonem a produktivitou, nezbytný výzkum kvality povrchu z hlediska odolnosti a únosnosti proti nepříznivým stavům. V důsledku konkurence přechází průmysl na nanotechnologii. Nanotechnologie ovlivňuje vývoj nových výrobků a materiálů. V budoucnu bude hlavní ekonomickou silou rozvoje moderní výroby technologický a obchodní přínos. Inženýrská nanotechnologie, nacházející své uplatnění v moderní výrobě popisuje

a zabezpečuje konstrukční části a jejich výrobu v rozsahu 100 až 0,1  $\mu\text{m}$ . Tyto nezbytnosti znamenají lepší funkční vlastnosti, které se promítou do zlepšení životnosti a spolehlivosti, správnosti geometrických tvarů (kruhovitost i pod 0,2  $\mu\text{m}$ ) a malá drsnost obrobene plochy ( $R_a = 0,8$  až 0,2  $\mu\text{m}$ ). Dnes se z hlediska výroby uplatňují nanočástice při výrobě prášků slinutých karbidů a brousicích materiálů, které jsou označovány jako sol-gely korundy a sintrované korundy.[2,7,11]

Vývoj nových technologií v oblasti dokončovacích metod je orientován na výrobu nových progresivních brousicích materiálů, zaručující zvýšení výkonů a snížení teploty kontaktu broušeného povrchu s brousicím kotoučem. Žádaným výsledkem je zvýšení kvality broušených ploch bez snížení jakosti obráběných povrchů. Sintrovaný korund ve výrobě brousicích kotoučů je výsledkem dlouholetého vývoje. Je to uměle vytvořený typ mikrokrytalického korundu. Drtí se na extrémně malou velikost krystalů se stejnými řeznými vlastnostmi, jsou průměrně až 50krát menší oproti ušlechtilému korundu. V současné době se používají jako kombinace s brousicími zrny v hmotnostních poměrech 10 %, 30 %, 50 až 60 %. Jejich jemná struktura rovnoměrně rozložená, pozitivně ovlivňuje rychlosť opotřebení brousicího zrna během brousicího procesu. Tato zrna jsou charakteristická vynikající houževnatostí, odolností vůči opotřebení a odolností působení vysokých teplot. Lze tedy zvolit jako jednu z možných cest k řešení tohoto problému použití vysocoporézních brousicích materiálů, sintrovaných korundů. Jsou faktorem, který v budoucnosti bude přinosem nejen v oblasti vysokých nároků na požadavky jakosti povrchu, ale také v oblasti ekonomické.

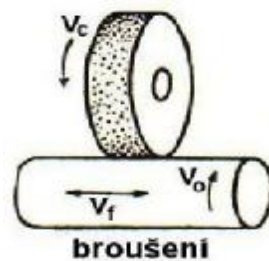
## 1.2 Charakteristika základních veličin u procesu broušení

*Řezná část* je označována funkční část nástroje, obsahující prvky, které tvoří třísku. Patří sem ostří, čelo a hřbet. V případě vícebřitěho (u broušení) nástroje má každý břit svou řeznou část.

*Řezná rychlosť*  $v_c$  je vyjádřena jako okamžitá rychlosť hlavního řezného pohybu uvažovaného bodu ostří vzhledem k obrobku.

*Posuvová rychlosť*  $v_f$  je určena jako okamžitá rychlosť posuvového pohybu v uvažovaném bodě ostří vzhledem k obrobku.

*Úhel posuvového pohybu*  $\varphi$  lze vyjádřit jako úhel mezi směry současného posuvového pohybu a hlavního řezného pohybu v pracovní rovině boční  $P_{fe}$ .[2]



Obrázek 2 Hlavní a posuvový pohyb u procesu broušení [2]

**Základní veličiny:**

- $h_{eq}$  ekvivalentní tloušťka třísky broušení [mm]
- $h_D$  tloušťka třísky [mm]
- $\phi_{max}$  úhel otočení kotouče [°]
- $v_s$  tangenciální rychlosť brousicího kotouče [ $m.s^{-1}$ ]
- $a_e$  hloubka broušení [mm]
- $d_s$  průměr kotouče [mm]
- $n_s$  frekvence otáčení brousicího kotouče [ $s^{-1}$ ]
- $f\phi_{max}$  posuv stolu připadající na otočení brousicího kotouče o úhel [ mm/ $\phi_{max}$  ]
- $v_{ft}$  tangenciální rychlosť posuvu stolu [  $m.min^{-1}$  ] [3,9]

*Maximální tloušťka třísky  $a_{max}$  :*

- lze vypočítat jako násobek míry posuvu stolu za určitý úhel pootočení brousicího kotouče a sinu tohoto úhlu

*Ekvivalentní tloušťka třísky:*

- je to ukazatel, který při broušení nahrazuje proměnlivou hloubku třísky  $a_e$

$$h_{eq} = \frac{v_w \cdot a_e}{60 \cdot v_c} \quad [\text{mm}] \quad [3]$$

1

 $a_e$ .....radiální záběr [mm] $b_D$ .....šířka broušení (šířka BK) [mm] $v_w$ .....rychllosť obrobku [ $m.min^{-1}$ ] $v_c$ .....řezná rychlosť [ $m.s^{-1}$ ] $h_{eq}$ ....ekvivalentní tloušťka broušení [mm]

t.....čas broušení

*Šířka třísky:*

- odebíraná jedním zrnem, je určena tvarem brusného zrna;
- je úměrná okamžité hodnotě tloušťky třísky;

*Posuv:*

Posuv stolu připadající na otočení brousícího kotouče o určitý úhel  $f\phi_{max}$

- hlavní pohyb – plynulý posuv s největší rychlostí při broušení;

Rychlosť posuvu stolu  $v_f$

- otáčivý pohyb – rotace obrobku okolo osy ve vztahu k stolu při broušení; [8]

### 1.3 Kinematika broušení

Pohyby a jejich rychlosti při broušení jsou definovány na základě charakteristik jednotlivých způsobů broušení. Příkladem může být obvodové vnější broušení do kulata axiálním nebo radiálním způsobem.

*Řezná rychlosť  $v_r$*

- tangenciální rychlosť brousicího kotouče ve zvoleném bodě.....[ $m.s^{-1}$ ];
- Řezná rychlosť při běžném broušení dosahuje hodnot 30 až 35  $m.s^{-1}$ .

*Frekvence otáčení  $n_s$*

- počet otáček brousicího kotouče za jednotku času.....[ $s^{-1}$ ];

*Obvodová rychlosť brousicího kotouče*

Závisí na použití zvoleného nástroje a možnostech obráběcího stroje.

- tangenciální rychlosť na maximálním průměru brousicího kotouče;

$$V_c = \frac{\pi \cdot D_{max,n_s}}{60 \cdot 10^3} \quad [m.s^{-1}]$$

2

$D_{max}$ ..... maximální průměr brousicího kotouče.....[mm];

$n_s$ ..... frekvence otáčení brousicího kotouče..... [ot. min.-1];

$v_c$ ..... je v rozmezí od cca 30 – 35  $m.s^{-1}$ ;

u rychlostního broušení  $80 \div 100 m.s^{-1}$ .....[ $m.s^{-1}$ ] ;

***Obvodová rychlosť obrobku  $v_w$  pri rotačném broušení***

$$V_w = \frac{\pi \cdot D_w \cdot v_w}{10^3} [m \cdot min^{-1}]$$

3

$D_w$ .....průměr obrobku;

$N_w$ ... frekvence otáčení obrobku;

Tato obvodová rychlosť  $v_w$  v prípadně tangenciálna rychlosť posuvu  $v_{ft}$  je menší než řezná rychlosť  $v_s$  a ovlivňuje:

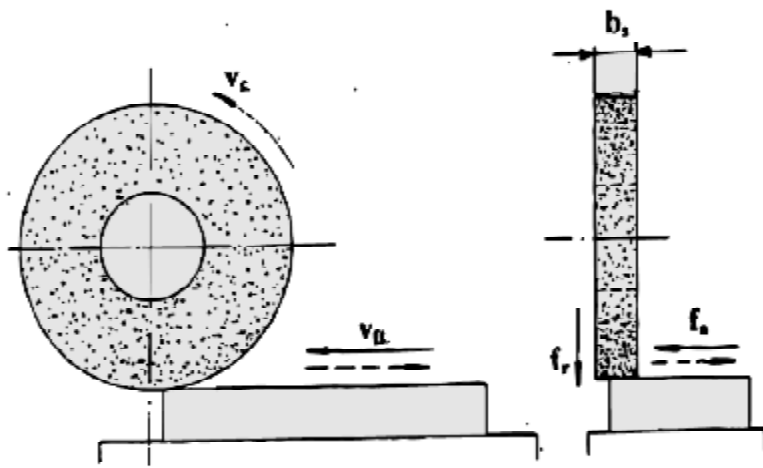
- odběr trásky a rychlosť deformace;
- kvalitu a drsnosť obrobené plochy;
- velikosť řezné sily;
- opotrebení brousicího kotouče; [3]

#### 1.4 Terminologie základních metod broušení

Brousicí proces lze provést různými metodami.

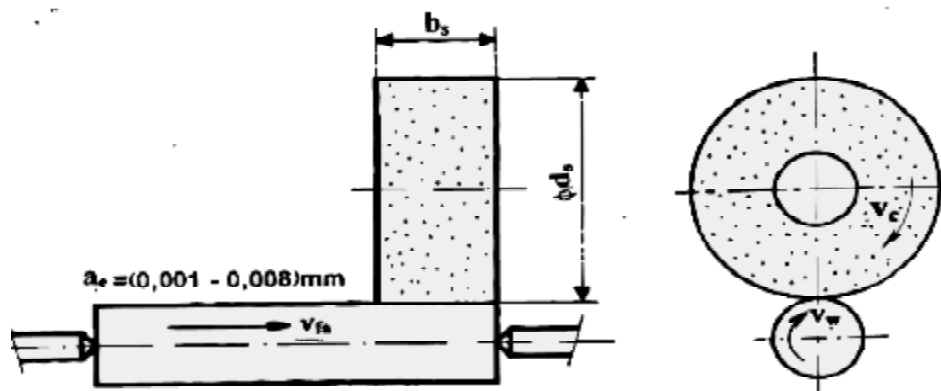
Tyto základní metody rozlišujeme podle:

- a) tvaru a způsobu vytváření obrobeného povrchu
- rovinné broušení (rovinná plocha);



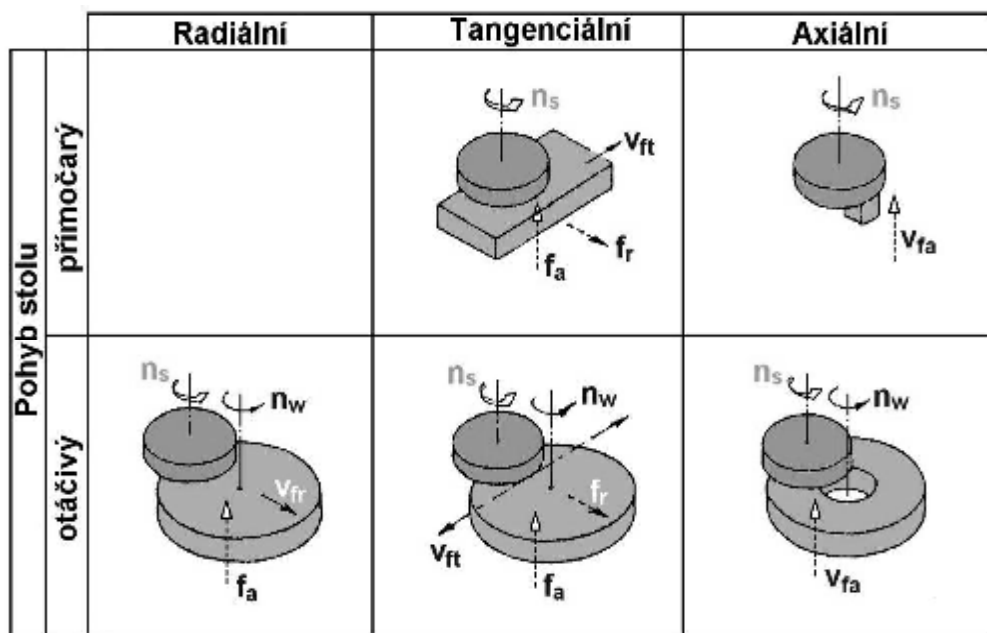
Obrázek 3 Rovinné broušení, přímočarý pohyb stolu[3]

- broušení dokulata (rotační povrch);
  - tvarové broušení (broušení závitů, ozubených ploch);
  - broušení na otáčivém stole (broušení s rotačním posuvem);
  - kopírovací broušení (broušení s řízenou změnou posuvu; NC stroje);
  - broušení tvarovými brousícími kotouči (profil brousícího kotouče určuje výsledný profil obrobku);
- b) specifikace aktivní části brousicího kotouče:
- obvodové broušení (obvodem kotouče);
  - čelní broušení (čelem kotouče);



Obrázek 4 Obvodové broušení s axiálním posuvem[3]

- c) vzájemné polohy brousicího kotouče a obrobku:
- vnější broušení;
  - vnitřní broušení;
- d) hlavního pohybu posuvu stolu vzhledem k brousicímu kotouči:
- axiální broušení (s osou kotouče je hlavní posuv stolu rovnoběžný);
  - tangenciální broušení (hlavní posuv stolu je rovnoběžný s vektorem obvodové rychlosti kotouče ve zvoleném bodě D);
  - radiální broušení (brousící kotouč je radiální k hlavnímu posuvu stolu ve zvoleném bodě D);
  - obvodové zapichovací broušení (posuv stolu je plynulý radiální);
  - čelní zapichovací broušení (posuv stolu je plynulý axiální); [4,8]



$n_s$  - frekvence otáčení brousicího kotouče,  $n_w$  - frekvence otáčení obrobku,  
 $v_{fa}$  - axiální rychlosť posuvu stolu,  $v_{ft}$  - tangenciální rychlosť posuvu stolu,  
 $v_{fr}$  - radiální rychlosť posuvu stolu,  
 $f_a$  - axiálni posuv stolu,  $f_r$  - radiálni posuv stolu

Obrázek 5 Broušení dle pohybu stolu [2]

#### 1.4.1 Brousicí nástroje

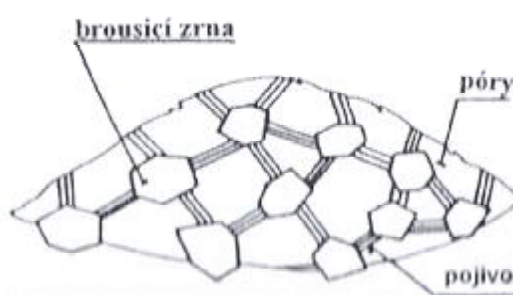
U obrábění kde dochází ke vzniku třísky, je řezným materiélem břít nástroje. Podstatná část brousicích materiálů je tvořena brousicími zrny, která se používají ve formě volných zrn, nanesených nebo přilepených k pružnému podkladu (leštící a brousicí plátna nebo papíry), zrn rozptylených v mazadlech a tekutinách (pasty pro broušení a leštění), dále ve formě zrn tvořící řezné klíny, spojená pojivy v pevná tělesa různých tvarů, které obsahují póry s funkcí zubových mezer pro hromadění třísky. [4,6]

Tuhá tělesa geometrického tvaru:

- brousicí kotouče;
- segmenty;
- kameny;

Zrnité brusivo se smíchá s pojivem z umělé pryskyřice nebo keramiky, vytvaruje se na brusný kotouč a vytvrzuje. Ideální brusné zrno si udržuje svou ostrost a postupný úbytek po co možná nejdelší možnou dobu. Každý typ brusného zrna má svou charakteristickou krystalickou strukturu, která umožňuje jeho různé štěpení. To je nejdůležitější faktor, dle

kterého je zrno vybíráno pro danou brousicí operaci. Pro technickou praxi se používají standardní brousicí materiály, které jsou na bázi karbidu křemíku SiC a na bázi kysličníku hlinitého  $\text{Al}_2\text{O}_3$ , dále jsou to brousicí materiály diamantové a z kubického nitridu bóru. Mezi technologicky nejrozšířenější patří standardní brousicí materiály typu  $\text{Al}_2\text{O}_3$ (umělý korund, elektrit) a typu SiC (karbidsilicium, karborundum). Volba brousicího materiálu se odvíjí od materiálu obrobku. Čím vyšší požadovaná jakost povrchu, tím menší zrno. Vhodný pro broušení šedé litiny, slinutých karbidů, mosazi, lehkých kovů a jejich slitin, mědi, skla, keramiky a kamene je právě karbid křemíku. Umělým korundem se brousí ocel, ocel na odlitky, tvrdé bronzy a temperované litiny.[ 2,3,6 ]



Obrázek 6 Schéma řezné a spojovací části brousicího kotouče [3]

#### 1.4.2 Označení brousicích kotoučů

Určení typů brousicích kotoučů se provádí pomocí značky dle ČSN ISO 525(22 4503). Specifikuje složení brousicího materiálu, který charakterizuje druh, strukturu, tvrdost, zrnitost, druh pojiva, určuje tvar a rozměr. Dosud používané označení kotoučů podle ČSN 22 4501 mění nová norma označení takto: specifikace kotouče obsahuje sedm symbolů, z těch jsou čtyři povinné, ostatní údaje (0,4,6) jsou závislé na vůli výrobce.

Symboly jsou v tomto pořadí:

0 – typ brousicího materiálu (původ nebo typ brusiva);

1 – druh brousicího materiálu;

2 – zrnitost kotouče;

3 – tvrdost kotouče;

4 – struktura;

5 – druh pojiva;

6 – typ pojiva;

Volba se provádí z normalizovaných symbolů 1 až 5.

Symboly 0 a 6 jsou zvoleny dle potřeby výrobcem.[6]

DRUH BROUSICÍHO MATERIÁLU	ZRNITOST TVRDOST	STRUKTURA	POJIVO	DOPLŇUJÍCÍ TECHNOLOG. ZNAK/MAX. OBVODOVÁ RYCHLOST
A <b>36K</b>	9	V	<b>00/50 m.s<sup>-1</sup></b>	

Obrázek 7 Názorný příklad označení brousicího kotouče [6]

***Druh brousicího materiálu*****BROUSICÍ MATERIÁL      OZNAČENÍ STARÉ (ČSN)    NOVÉ (ISO)**

Elektrokorund bílý	A99B	A
Elektrokorund bílý – barvený červeně	A99	A
Elektrokorund - barvený modře	A99M	A
Elektrokorund růžový	A98	A
Elektrokorund hnědý	A96	A
Karbid křemíku černý	C48	C
Karbid křemíku zelený	C49	C
Monokrystalický korund	90MA	
Polokřehký korund	97A	A
Zirkonový korund	80A	A
Kubický nitrid bóru	CBN	NENÍ
Mikrokrytalický korund	AG92	
Slinutý korund	K	NENÍ

[6]

Obecná volba je obvykle orientována pro **elektrokorund** na ocel, ocel na odlitky, temperované litiny, tvrdé bronzy.

Pro **karbid křemíku** na obrábění šedé litiny, mosazi, mědi, lehkých kovů a jejich slitin, slinutých karbidů, skla a keramiky.[2]

**Zrnitost brousicího materiálu**

Volba zrnitosti se odvíjí dle požadované drsnosti broušeného povrchu. Zde všeobecně platí, že čím vyšší jsou požadavky na drsnost povrchu, tím je zrnitost jemnější. Hrubší zrnitost se volí pro větší úběr materiálu a u broušení mosazi, mědi a hliníku.

Podstatná změna proti značení dle ČSN 22 4501, kde zrnitost vyjadřuje rozměr brusných zrn (11 číslo zrnitosti = rozměr zrna v  $\mu\text{m}$ ), je podle ČSN ISO 525 čím větší je údaj zrnitosti, tím je zrno jemnější.[2,3]

Tabulka 1 Znázornění rozlišení zrnitosti [6]

Zrnitost	ČSN	ISO
<i>Velmi hrubá</i>	250, 200, 160	není
<i>Hrubá</i>	125, 100, 80, 63	4,5,6,7,8,10,12,14,16,20,22,24
<i>střední</i>	50, 40, 32, 25	30,36,40,46,54,60
<i>Jemná</i>	20, 16, 12, 10	70,80,90,100,120,150,180
<i>Velmi jemná</i>	8, 6, 6	220,240,280,320,360,400,500,600,800,1000,1200
<i>Zvlášť jemná</i>	4, 3, M32, M22, M15	není

## Tvrdost brousicího materiálu

Je identifikací soudržnosti hmoty brousicího nástroje a volí se podle způsobu broušení a druhu broušeného materiálu. Platí, že čím tvrdší je broušený materiál a čím je větší styčná plocha brousicího kotouče se součástí, tím měkčí volíme brusný kotouč. Měkký kotouč je používán pro broušení mědi, mosazi, hliníku a materiálů citlivých na teplotní změny. Broušení přerušovaných ploch naopak vyžaduje tvrdší kotouč. [10]

## Struktura brousicího materiálu

Struktura (sloh hutný) je vyjádřením vzdálenosti mezi brousicími zrny i hutnosti brousicího nástroje. Vyšší číslo vyjadřuje větší vzdálenost mezi zrny. Hutné brousicí nástroje jsou vhodné pro broušení křehkých a tvrdých materiálů. Pórovité kotouče jsou vhodné zejména pro broušení houževnatých materiálů. Pro součásti, u kterých nesmí dojít k zahřívání při broušení, slouží zvlášť pórovité kotouče.[4]

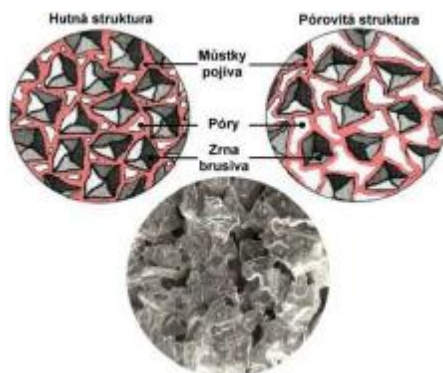
Struktura - rozsah označení:

- *velmi hutná 1-2;*
- *hutná 3-4;*
- *střední 5-6;*
- *otevřená 7-8;*
- *velmi otevřená 9-10;*
- *zvlášť pórovitá 11-18;*
- *vysoceporézní 10VS-18VS;*

Pro volbu struktury všeobecně platí:

Čím je:

- ✓ tvrdší a křehčí materiál, tím je kotouč hutnější;
- ✓ větší dotyková plocha, tím musí být kotouč půrovitější;
- ✓ objemnější množství odebraného materiálu, tím musí být nástroj půrovitější, aby se nezanášel;



Obrázek 8 Druhy struktury brousicího kotouče [2]

### Pojivo brousicího materiálu

Pro brousicí nástroje je podstatné použití pojiva. Vytváří můstky mezi brusnými zrny a jeho vlastnosti zásadně ovlivňují tzv. *samoostření* brousicího nástroje.

Druh pojiva a jeho označení:

- Keramické – V
- Magnezitové – Mg
- Pryžové – R
- Umělá pryskyřice – B [3]

U keramického pojiva jsou nástroje křehčí, citlivější vůči nárazu a bočnímu tlaku. Jejich použití je aplikováno pro jemný výbrus bez ovlivnění součásti teplem. Brousicí kotouče s pojivem z umělé pryskyřice jsou odolnější vůči nárazům a bočním tlakům, avšak nevýhodou je nepříznivá změna vlastností ovlivněná stárnutím. Slouží k broušení roviných ploch, vnějších a vnitřních válcových ploch, hrubování, řezání kovů, kamene a keramiky. Kotouče s pryžovým pojivem se používají pro jemné ostření nástrojů, broušení válcových ploch, u bezhrotého broušení jako podávací kotouče, jako tenké řezací kotouče a elastické nástroje pro čištění a leštění. Pro jemné broušení a leštění jsou určeny kotouče s polyuretanovým pojivem, nástroje s šelakovým pojivem jsou používány pro leštění kamene.[2,6,8]

### 1.4.3 Velikost brousicích kotoučů

Výběr rozměru brousicího kotouče nebo tělesa je dána typem stroje a závisí na druhu prováděné činnosti. Při větším je průměru brousicího kotouče, je tím méně následkem delší ochlazovací dráhy brusné zrno namáhané, to přináší příznivé podmínky pro delší životnost kotouče. Pokud zvětšíme podstatně průměr brousicího kotouče při jeho stálé obvodové rychlosti, sníží se tak drsnost obráběného povrchu, protože se prodlužuje stykový oblouk kotouče a obrobku, dochází ke zmenšení tloušťky trásky odebírané jedním zrnem. Při zvětšení průměru kotouče nepodstatně, nedojde ke zlepšení kvality broušené plochy. [6,9]

### 1.4.4 Tvar brousicího kotouče

Tvary brousicích kotoučů jsou normalizované a jsou zvoleny na základě typu prováděné operace.

Mezi základní tvary brusného kotouče lze zařadit:

- Obvodové kotouče
- Čelní kotouče
- Talířové kotouče
- Úhlové kotouče
- Miskové kotouče [10]

### 1.4.5 Upínání brousicích kotoučů

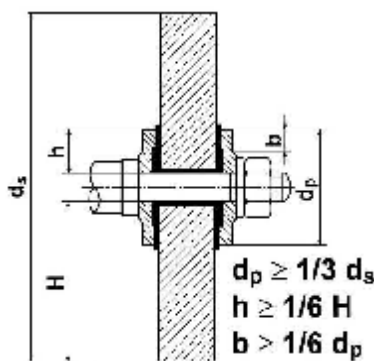
Brusné kotouče se upínají na vřeteno brousicího stroje pomocí přírub, nejčastěji upevněny mechanickým sevřením. Je nutné brousící kotouč orovnat, to znamená jemné obrobení povrchu kotouče pro dosažení požadovaného tvaru, odstranění nerovností a očištění kotouče od trásek. Pro orovnávání se používají:

- 1) Orovňávací kolečka;
- 2) Orovňávací kameny z keramiky;
- 3) Orovňávací kladky;
- 4) Diamantové orovnávače;

Před upnutím kotouče do stroje je potřeba pro zaručení klidného chodu vřetene bez vynucených kmitů, které jsou příčinou zhoršené broušené plochy, vyvážit brusné kotouče a to staticky nebo dynamicky. [2,9]

Brousící stroje – brusky:

- Hrotové brusky;
- Bezhroté brusky;
- Brusky na díry;
- Vodorovné rovinné brusky;
- Svislé rovinné brusky;
- Speciální brusky; [2]



Obrázek 9 Upínání brousícího kotouče pomocí přírub [2]

## 1.5 Aplikovaná brusiva

Výběr je orientován v závislosti na vlastnostech obrobku.

Symbol na brousicích kotoučích:

**A** - brusné materiály na základě oxidu hlinitého  $\text{Al}_2\text{O}_3$  korundy se používají pro broušení železa, oceli;

(A-korund, 38A-bílý korund, 86A-rubínový korund, 32A monokrystalický korund).

**C** - brusné materiály na základě karbidu křemíku se používají na broušení neželezných kovů, nekovových materiálů, keramiky, skla nebo lehkých kovů.

(37C-černý karbid křemíku, 39C-zelený karbid křemíku). [2,3]

### 1.5.1 Přírodní brusiva

- **Přírodní diamant**

– je modifikací uhlíku s krystalickou strukturou, která zpravidla obsahuje menší množství příměsi různých chemických prvků. Diamantové krystaly jsou různých tvarů, spíše blížící se geometricky pravidelnému tvaru; [2]

**■ *Korund***

- minerál, který je složen zejména z krystalického oxidu hlinitého (80 až 90%  $\text{Al}_2\text{O}_3$ ) s příměsí dalších minerálů. Jedná se o velmi tvrdý, nepříliš křehký materiál. V přírodě se nachází velké množství druhů korundu. Přírodní korund krystalizuje v hexagonální krystalové soustavě, má tvar protáhlých dipyratidálních hranolovitých, klencových a pinakonálních krystalů;

**■ *Smírek***

- minerál na bázi krystalického oxidu hlinitého, neobsahuje víc než 60%  $\text{Al}_2\text{O}_3$ . V porovnání s korundem snižují jeho brusné vlastnosti různé vedlejší příměsi;

**■ *Křemen***

- je minerál, který obsahuje hlavně oxid křemičitý (až 97%  $\text{SiO}_2$ ) a příměsi minerálů; [16]

### 1.5.2 Uměle vyrobená brusiva

Přírodní brusiva s úspěšností nahrazují umělá brusiva - umělý diamant, kubický nitrid boru, umělý korund – oxid hlinitý  $\text{Al}_2\text{O}_3$ , elektrit, elektrokorund, karbid boru, karbid křemíku a jejich různé směsi.

**■ *Umělý diamant***

– pomocí katalyzátoru se získává z materiálu obsahující uhlík. Výchozím materiálem je pro výrobu umělého diamantu grafit (méně často saze nebo dřevěné uhlí); katalyzátorem může být kov (chrom, nikl, železo, kobalt atd.). Katalyzátor se za vysokého tlaku a teploty taví a atomy uhlíku mění svou hexagonální strukturu charakteristickou pro grafit na krychlovou, typickou pro diamant. Přitom dochází k podstatně změně vlastností materiálu a z měkkého grafitu vzniká velmi tvrdý materiál; [16]

**■ *Umělý korund***

– je to krystalický oxid hlinitý ( $\text{Al}_2\text{O}_3$ ), získává se vytavením látek bohatých na tento oxid (bauxit, čistý oxid hlinitý) v elektrických pecích. Dle obsahu oxidu hlinitého je různé barvy, struktury a vlastnosti. Je nejpoužívanější brusivo na broušení ocelí, ocelí na odlitky a temperované litiny; [16]

### ❖ Umělý bílý korund A99

Jeho výroba se provádí tavbou bauxitu v obloukových pecích při teplotě 2000°C. Bílý korund má vyšší tvrdost než hnědý korund a o něco nižší houževnatost. Umělý bílý korund obsahuje minimální množství volného železa (toho se dosáhne odmagnetizováním ), je vhodný pro broušení, tryskání nerezové oceli. Umělý bílý korund obsahuje až 99 % Al<sub>2</sub>O<sub>3</sub>. Jedná se materiál vysoké kvality, který je určen pro výrobu brousicích nástrojů, keramický průmysl a výrobu žáruvzdorných tvárníc. [16]



Obrázek 10 Umělý bílý korund [13]

### ❖ Umělý růžový korund A98

Korund, legovaný chrómem, je určen pro výrobu keramicky pojených brousicích nástrojů, jako jsou kotouče, segmenty, montované kotouče, apod., pro opracování tvrdých kovů a slitin, nesnášejících zvýšené teploty při opracování. Korund je vyráběn tavením oxidu aluminia společně s kysličníky chrómu v elektrických obloukových pecích. Proti bílému korundu má růžový korund legovaný chrómem významně vyšší tvrdost. Korund legovaný chrómem se vyznačuje podélným tvarem zrn s ostrými hranami a stabilní měrnou hmotností. Díky dokonalému vyprání ve vodě jsou zrna čistá, mají jasnou růžovou barvu a dobrou smáčivost. [16]



Obrázek 11 Umělý růžový korund[13]

### ❖ Umělý hnědý korund

Umělý hnědý korund je vyráběn z disulfidické strusky - kusoviny, získané z obloukových pecí, při kontrolované tavbě bauxitu o teplotě nad  $1800^{\circ}\text{C}$  a následném pomalém ochlazování. Dobře rostlé krystaly dávají tomuto materiálu houževnatost a pevnost. Zrno má kubický tvar a stabilní sypnou hmotnost. Povrchová prašnost je odstraněna praním zrn ve vodě. Tím je dosaženo čistého povrchu jednotlivých zrn, dobré smáčivosti a také dobrých pracovních podmínek při zpracování. Slitky surového kysličníku hlinitého se pak lámou, drobí, drtí a třídí do skupin podle velikosti zrn. Umělý hnědý korund je vhodný pro všechny druhy výrobků s pojivem pryskyřičným nebo gumovým, pro volné broušení a tryskání. V řezacích a brousících kotoučích je vhodný pro opracování nástrojových, legovaných i běžných ocelí, litiny aj. materiálů.[16]



Obrázek 12 Umělý hnědý korund [13]

### ❖ Monokrystalický korund

Monokrystalický korund vzniká krystalizací z oxi-sulfidické taveniny. Za speciální tavby bauxitů dochází za pomoci přídavku pyritu k redukci nečistot a další přísady vedou ke krystalizaci každého jednotlivého krystalu monokorundu, které se získají po hydrolýze z drcené oxisulfidické strusky (kusoviny). Zrna se vyznačují šedě-bílou barvou a mají mnoho přesných řezných hrotů. Při srovnání s hnědým korundem má lepší tvrdost a houževnatost, tedy lepší abrazivní vlastnosti. Monokrystalický korund je vhodný především pro vysoké rychlosti broušení a při výrazně nižší teplotní námaze obrobku. Monokrystalický korund je určen zejména pro keramicky pojené nástroje při obrábění kalené nástrojové oceli okolo 62 HRc, rychlořezné, ložiskové, legované, nerezové, vanadiové oceli a velmi tvrdých a houževnatých materiálech. Rovněž je tento korund aplikovatelný v pryskyřičných kotoučích při velkých řezných rychlostech a současně nutnosti chladného řezu či výbrusu, např. u velmi tenkých řezacích kotoučů.[8,11,16]

### ❖ Karbid křemíku

Jedná se o sloučeninu křemíku s uhlíkem ( $\text{SiC}$ ), která se vyrábí v elektrických pecích za teploty 2100 až 2200°C. Základní surovina je křemenný písek a látky, které obsahují uhlík – koks a antracit. Výrobní proces spočívá v přeměně křemíku uhlíkových částic párami kyseliny křemičité. Technický karbid křemíku je dvojího druhu. Zelený karbid křemíku (KZ) s obsahem alespoň 97%  $\text{SiC}$  je tvrdší, zato méně houževnatý; používá se zejména k ostření nástrojů ze slinutých karbidů. Černý karbid křemíku (KČ) je charakteristický černou nebo tmavě modrou barvou a kovovým leskem. Obsahuje neméně 95%  $\text{SiC}$ . Používá se často k broušení kovů s malou pevností v tahu, jako je např. šedá a bílá litina, měď, mosaz nebo křehké druhy bronzu; [8,16]



Obrázek 13 Karbid křemíku [13]

### ❖ Karbid boru

obsahuje krystalický karbid boru (do 94%  $\text{B}_4\text{C}$ ) a malé množství příměsi. Vyrábí se v elektrických pecích z technické kyseliny borité ( $\text{B}_2\text{O}_3$ ) a uhličitého materiálu s menším obsahem popela ropného koksu. Je označován jako jeden z nejtvrdších umělých materiálů, tvrdost má 9,36 Mohs. Karbid boru je neutrální při styku s kyselinami a zásadami. Karbid boru se používá v jaderném průmyslu, zbrojařském průmyslu, dále pro broušení, lapování, leštění karbidu wolframu a dalších velice tvrdých materiálů jako například skla, keramiky či nerostů;[8,16]

## 2 KVANTIFIKACE ZÁVISLOSTÍ ENERGETICKÝCH FAKTORŮ BROUŠENÍ

### 2.1 Charakteristika termodynamiky a termodynamických jevů při broušení

Termodynamika je rozsáhlý vědní obor, tvořící důležitou součást materiálových disciplín. Vychází z poznatků fyziky a chemie, statistické mechaniky a obecné termodynamiky. V obecné rovině se zabývá vzájemnými vztahy a přeměnami různých druhů energie (např. mechanická, tepelná) při termodynamických dějích. Podává teoretické vysvětlení vlastností látek a jevů.

Zkoumá vymezenou část prostoru s látkovou náplní, kterou nazýváme termodynamická soustava. Soustava je od okolí oddělena skutečnými nebo pomyslnými hranicemi, jejich vlastnosti určuje charakter soustavy. Tedy schopnost propustit látku a energie ve formě mechanické práce a tepla ze soustavy do okolí a naopak. [14]

Soustavy z hlediska propustnosti látky:

- Otevřenou soustavu;
- Uzavřenou soustavu;

Soustavy z hlediska propustnosti energie:

- Neizolovanou soustavu;
- Izolovanou soustavu; [14]

U teoretické analýzy broušení vytváří termodynamickou soustavu obrobek, brousící kotouč a odbroušené elementy kovu. Stav soustavy charakterizují veličiny – práce řezání, teplo, teplota, řezné prostředí a hmotnost. U broušení se vytváří velké množství tepla, které vzniká přeměnou mechanické energie. Při interakci soustavy s okolím dochází ke stavovým změnám. Z nestabilního počátečního stavu soustava přechází do stavu konečného. [3]

### 2.2 Řezné síly

Celková řezná síla  $F$  působící v obecném směru mezi brousícím kotoučem a obrobkem se rozkládá do tří vzájemně kolmých směrů.

Má tři složky:

- 1) *Tangenciální síla Fc* - ve směru řezné rychlosti leží řezná síla;
- 2) *Radiální síla Fp* je kolmá k broušené ploše;
- 3) *axiální síla Ff*, pasivní- působí ve směru podélného posuvu tzn. kolmo na rovinu otáčení kotouče.; [3,6]

Řeznou sílu můžeme určit:

- Z experimentální rovnice

$$F_c = C_m \cdot v_s^{0,7} \cdot f_a^{0,7} \cdot a_e^{0,6} \quad [N]$$

4

- Za pomoci měrné řezné síly

$$F_c = k_c \cdot A_D \quad [N]$$

5

- Nepřímo – z naměřeného řezného příkonu P<sub>c</sub> brusného vřeteníku

$$F_c = \frac{10^3 \cdot P_c}{v_c} \quad [N]$$

6

Při broušení platí, že:

$$F_p > F_c > F_f \text{ a } F_p \cong (1,2 \div 3)F_c$$

7

**Výpočet řezné síly pro rovinné broušení:**

$$F_c = k_c \cdot f_a \cdot \frac{v_{ft}}{60 \cdot v_s} \cdot a_e \quad [N]$$

8

**Výpočet řezné síly pro rotační broušení:**

$$F_c = k_c \cdot f_c \cdot \frac{v_w}{60 \cdot v_s} \cdot a_e \quad [N]$$

9

$V_f$  - tangenciální rychlosť stolu [m/min]

$V_w$  - obvodová rychlosť obrobku [m.min<sup>-1</sup>]

$f_a$  - axiálny posuv stolu na otáčku obrobku [mm]

$a_e$  - pracovný (radiálny) záběr [mm] [4,8]

*Měrná řezná síla nabývá hodnot:* pro ocel  $k_c=10\ 000 \div 35\ 000$  MPa

pro litinu  $k_c=4\ 000 \div 12\ 000$  MPa

(vyšší hodnoty platí pro broušení na čisto a jemné broušení)

Velikost řezných sil závisí zejména na způsobu broušení a na průřezu třísky, dále na zrnitosti brusiva, druhu a tvrdosti pojiva a struktuře brousícího kotouče. S otupováním brousícího kotouče může vrůst řezná síla až několikanásobně. [4,8]

### Kvalitativní parametry

Dosahované kvalitativní parametry při standardním broušení rotačních a roviných ploch

Tabulka 2 Kvalitativní parametry [3]

	IT[-]přesnost rozměru	Ra[μm] – drsnost povrchu
<b>HRUBOVÁNÍ</b>	9 - 11	0,8 – 6,3
<b>BROUŠENÍ NA ČISTO</b>	5 - 7	0,2 – 1,6
<b>JEMNÉ BROUŠENÍ</b>	3 - 4	0,025 – 0,4

## 2.3 Energetické aspekty

*Teplo, teplota*

Při broušení dochází v povrchové vrstvě obrobku vytváření velkého počtu míst s vysokými teplotami, jejich působením se povrchová vrstva intenzivně zahřívá. V povrchové vrstvě obrobku se tepelný proces vyznačuje vysokou rychlosťí místního ohřevu, má krátkou prodlevu na této teplotě a rychlé ochlazení, zejména u použití řezné kapaliny.

Při broušení se veškerá mechanická práce mění v teplo a jen malá část se spotřebuje na přeměnu krystalické mřížky obráběného materiálu. Vzniklé teplo přechází do kotouče, třísky, obrobku a řezné kapaliny. [5,8]

*Teplo:*

- Přestupující do kotouče  $Q_k$ ;
- Přecházející do obrobku  $Q_o$ ;
- Odcházející s třískou  $Q_t$ ;
- Odebrané řeznou kapalinou  $Q_{ch}$ ;
- Vyzářené  $Q_v$ ;

Lze vyjádřit rovnicí:

$$F_c v_c = Q_o + Q_k + Q_t + Q_{ch} + Q_v$$

10

Při broušení přechází největší množství tepla do obrobku a nepatrná část se vyzáří do okolí. Při vysokých teplotách může dojít k různým defektům povrchové vrstvy obrobku, jako jsou trhlinky nebo opal a tím jej znehodnotit. Tepelný vliv je označován jako základní činitel broušení.

Při procesu broušení rozeznáváme:

- 1) *Okamžitou teplotu*, ta se vyvíjí přímo v místě záběru zrna brusiva, za krátkou dobu dosahuje vysokých teplot;
- 2) *Stykovou teplotu*, v místě styku obrobku a kotouče, vyhodnocuje její průměrnou hodnotu v rozmezí šířky kotouče;
- 3) *Střední teplotu*, ustálená teplota na povrchu obrobku, nelze ji experimentálně změřit, ale lze ji určit podle strukturálních změn na okrajových vrstvách obrobku;

Vznik a rozdelení tepla u broušení se odvíjí od podmínek:

- volby typu kotouče;
- mechanických a fyzikálních vlastností obráběného materiálu;
- řezných podmínek;
- řezné kapaliny aj.;

Jednotlivé činitele (řezná rychlosť, apod.) ovlivňují tepelné jevy komplikovaně. Pokud se zvýší řezná rychlosť, zmenší se tloušťka odebrané vrstvy, tím se zvýší množství tepelných impulzů, ale zároveň se zkracuje doba jejich působení a změní se podmínky tření zrn brusiva po obráběné ploše. Důsledkem tohoto vzájemného působení se teplota obrobku zvyšuje při zvýšení řezné rychlosti. [8,14]

Teplotu lze snížit zmenšením intenzity působení zdrojů tepla a jeho intenzivním odváděním těmito způsoby:

- 1) *technologicky* – výběr optimálního způsobu broušení, typem kotouče, řezných podmínek, řezné kapaliny, atd.;
- 2) *konstrukčně* – vhodná konstrukce kotoučů pro dané podmínky obrábění, zlepšení čistících a chladících zařízení pro řeznou kapalinu; [8]

### ***Množství tepla Q, vzniklé u broušení – řezná síla a řezná rychlosť***

$$Q = F_c \cdot v_c \quad [\text{J} \cdot \text{s}^{-1}]$$

11

### ***Množství tepla Q, vzniklého přeměnou práce broušení a při aplikaci měrné řezné síly***

$$Q = k_c \cdot A_D \cdot v_c$$

12

Teplo Q je odváděno obrobkem, brousícím kotoučem, třískami a chladicí kapalinou. Na deformaci mřížky a vytvoření nových povrchů jsou spotřebována 2% z celkové práce řezání, 98% práce se přemění v teplo.

### ***Teplo odváděné třískami:***

$$Q_t = F_c \cdot v_c \cdot \frac{q_t}{10^2} \cdot 60 = m_t \cdot c \cdot (t_t - t_0) \quad [\text{J} \cdot \text{min}^{-1}]$$

13

**Teplova třísek:**

při nižší teplotě třísek je kvalita broušení zpravidla vyšší.

$$t_t = \frac{F_c \cdot v_c \cdot \frac{q_t}{10^2} \cdot 60}{m_t \cdot c} + t_0 \quad [\text{°C}]$$

14

$F_c$  - řezná síla ve směru hlavního řezného pohybu [ N ]

$v_c$  - řezná rychlosť [ m.s<sup>-1</sup> ]

$q_t$  - podíl tepla přecházejícího do třísek [ % ]

$m_t$  - hmotnost třísek [ kg.min<sup>-1</sup> ]

$c$  - měrná tepelná kapacita brouš. kovu [ J. kg<sup>-1</sup>.K<sup>-1</sup> ]

$t_0$  - teplota okolí [ °C ]

**Hustota tepelného toku**  $\varphi_w$  popisuje množství tepla přecházející plochou 1 m<sup>2</sup> obrobku v čase jedné sekundy. [3]

$$\varphi_w = \frac{Q \cdot \frac{q_w}{10^2}}{\frac{A_D}{10^6}} = \frac{F_c \cdot v_c \cdot q_w}{A_D} \cdot 10^4 = \frac{10^3 \cdot P_c \cdot q_w}{A_D} \cdot 10^4 = \frac{P_c \cdot q_w}{A_D} \cdot 10^7 \quad [\text{J.s}^{-1}.m^{-2}]$$

15

**Množství tepla přecházející do obrobku:**

$$Q_w = \varphi_w \frac{A_D}{10^6} = \frac{P_c \cdot q_w \cdot 10^7}{A_D} \cdot \frac{A_D}{10^6} = P_c \cdot q_w \cdot 10 \quad [\text{J.s}^{-1}]$$

16

Kde:

$Q$ ....tepo vznikajícího při broušení [ $\text{J.s}^{-1}$ ]

$Q_w$ ....teplo přecházející do obrobku [ $\text{J.s}^{-1}$ ]

$q_w$ ....množství tepla přecházejícího do obrobku [%]

$A_D$ ...jmenovitá plocha řezu [ $\text{mm}^2$ ]

$f_a$ ....axiální posuv [ $\text{mm.zdvih}^{-1}$ ] [ $\text{mm.ot}^{-1}.\text{obrobku}$ ]

$a_e$ ....hloubka broušené plochy [mm]

$v_c$ .....řezná rychlosť na obvodu kotouče [ $\text{m.s}^{-1}$ ]

$k_c$ .....měrná řezná síla [ $\text{MPa}$ ] [ $\text{N.nm}^{-2}$ ]

$\varphi$ .....hustota tepelného toku [ $\text{J.s}^{-1}.\text{m}^{-2}$ ]

$h_{eq}$ ....ekvivalentní tloušťka třísky[mm]

$P_c$ ....celkový příkon hlavního vřeteníku[kW] [3,8,9]

### 3 EKVIVALENTNÍ TLOUŠŤKA TŘÍSKY

U broušení při správné volbě řezných parametrů dochází k tzv. samoostření, tedy k vylamování otupených zrn a uvolnění novým, ostrým zrnům v brousícím kotouči. Tento proces je možné regulovat řeznými podmínkami a ovlivňovat řezné síly, které působí na jednotlivá zrna a tím také na intenzitu vylamování otupených zrn. Platí zde, že řezná síla je úměrná tloušťce třísky, odebírané zrnem. Fyzikální podstata úběru třísek je velmi dobře vyjádřena ekvivalentní (střední) tloušťkou třísky "h<sub>eq</sub>". Pokud známe hodnotu ekvivalentní tloušťky třísky, je možné vypočítat energetické a dynamické parametry brousícího procesu. Jestli se odbrouší materiál v čase t, při radiálním záběru a<sub>e</sub>, šířky b<sub>D</sub> a délky t. v<sub>w</sub> a poté se tento objem rozvine rovnoměrně po povrchu brousícího kotouče o tloušťce h<sub>eq</sub> tak, že oba tyto objemy jsou stejné, pak platí:

$$a_e \cdot b_D \cdot v_w \cdot t = 60 \cdot v_c \cdot h_{eq} \cdot b_D \cdot t$$

17

*ekvivalentní tloušťka třísky:*

$$h_{eq} = \frac{v_w \cdot a_e}{60 \cdot v_c} \quad [\text{mm}]$$

18

a<sub>e</sub> - radiální záběr [mm]

b<sub>D</sub> - šířka broušení [mm]

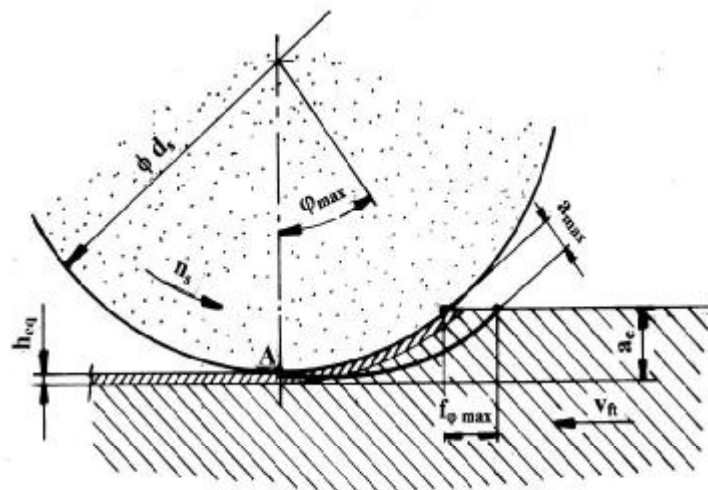
v<sub>w</sub> - rychlosť obrobku [m.min<sup>-1</sup>]

v<sub>c</sub> - řezná rychlosť [m.s<sup>-1</sup>]

h<sub>eq</sub> - ekvivalentní tloušťka broušení [mm]

t - čas broušení [min]

- Ekvivalentní tloušťka broušení → tloušťka třísky ve tvaru plynulé pásky odcházející podél brousicího kotouče při řezné rychlosti v<sub>c</sub> o objemu rovnému objemu odebíraného materiálu V<sub>m</sub> za stejný čas
- Ekvivalentní tloušťka broušení je vztažena na jednotku aktivní šířky brousicího kotouče a vyjádří se pro příslušnou kinematiku broušení. [3,8,9]



Obrázek 14 Znázornění ekvivalentní tloušťky třísky[3]

### 3.1 Vznik třísky

Na proces tvoření třísky při broušení mají vliv topografie brousicího kotouče, změna velikosti a geometrie brousicích zrn, proměnlivá hloubka odřezávané vrstvy a teplota obráběného materiálu v místě broušení.

Každé zrno, které odřezává materiál při pohybu v kontaktní zóně, prochází třemi stádii:

- plastická deformace povrchu;
- pružná deformace povrchu;
- odebrání třísky; [3,8]

Spolehlivou informaci o procesu tvoření třísky při broušení lze získat zkoumáním právě těchto jednotlivých oblastí. To je možné pouze pomocí experimentálních metod. Oddělování třísky je velmi složitý proces, jeho průběh je závislý na různých činitelích, především na fyzikálních vlastnostech obráběného materiálu a jejich závislosti na podmírkách plastické deformace.

*Charakteristika třísky:*

- Vysoké lokální smykové napětí, řádově až  $10^5$  MPa;
- Vysoká rychlosť smykových deformací, řádově až  $10^5$  s<sup>-1</sup>;
- Interakce nástroje po právě vytvořeném povrchu, který je chemicky aktivní;
- Vysoký počet parametrů a jeho geometrie, které mohou výrazně změnit proces řezání;
- Velké množství strukturně metalurgických parametrů obráběného povrchu, ty mohou ovlivnit jeho chování vůči materiálu řezného nástroje;

Druh třísky určuje:

- poměr meze pevnosti v tahu  $R_m$ ;
- meze kluzu ve smyku  $R_{es}$ ;
- meze pevnosti ve smyku  $R_{ms}$ ;
- a. tvářená tříška soudržná vzniká plastickým kluzem;
- b. částečně tvářená tříška, elementární;
- c. netvářená, vzniká štěpením bez předchozího tváření;

Třísky jsou výstupní produkty z řezného procesu, které vzhledem k následné manipulaci po bezprostředním opuštění prostoru jejich vzniku, mají splňovat určité podmínky rozměrů a tvarů. [2,4,8]

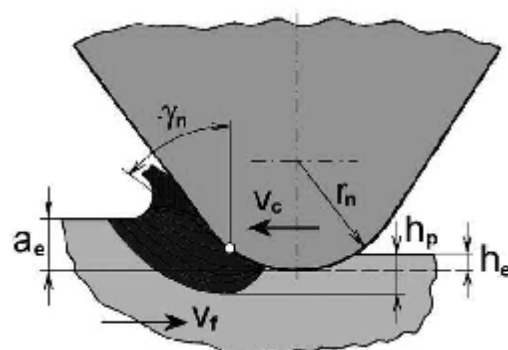
Ke kvantifikaci stupně plnění těchto požadavků se používá "objemový součinitel třísek -  $W$ ", který je vyjádřen závislostí:

$$W = \frac{V_t}{V_m}$$

19

$V_t$  - Objem volně ložených třísek;

$V_m$  - Objem odebraného materiálu korespondující s  $V_t$ , [3]



Obrázek 15 Úhly jednotlivých zrn brusiva [2]

Dynamické působení síly, které doprovází oddělování třísek, způsobuje plastickou deformaci vrstvy kovu obrobeného povrchu. Při zvyšující síle  $F$  se pod zrnem povrchová vrstva zpočátku pružně a plasticky deformuje a poté nastává odebírání třísky. Mechanismus oddělování a vznik třísky se liší u krystalických a nekrystalických látek.[2]

## **II. PRAKTICKÁ ČÁST**

## 4 ANALÝZA TEPLITNÍCH POLÍ BROUSICÍHO KOTOUČE A BROUŠENÉHO POVRCHU

### 4.1 Cíl a metodika diplomové práce

V teoretické části diplomové práce jsou charakterizovány základní veličiny při broušení, kvantifikace závislosti energetických faktorů broušení a ekvivalentní tloušťka třísky. Její experimentální část je orientována na vliv použitých brousicích kotoučů na teplo vzniklé při obrábění. Jedním z hlavních kritérií volby řezných parametrů při broušení jako dokončovací metody, je teplota styku brousicího kotouče s broušeným povrchem. Řešení s využitím metod regresní analýzy je zaměřeno především na zjištění závislosti teploty broušeného povrchu na vzdálenosti od kontaktu s brousicími kotouči. Při experimentu byly testovány brousicí kotouče s různým obsahem sintrovaného korundu, uměle vytvořeného typu mikrokryštallického korundu, který má extrémně malou velikost krystalů se stejnými řeznými vlastnostmi. Experimenty byly realizovány na rovinné brusce BRH 20.03F, testování brousicích kotoučů bylo provedeno na materiálu ČSN EU 14 109.4. - DIN 1,3505, WNR 100Cr6. Řezné podmínky pro všechny kombinace brousicích kotoučů a materiálu byly nastaveny stejně. Cílem je ověření parametrů ovlivňujících kvalitativní a ekonomické výsledky broušení.

### 4.2 Metodika experimentu

#### 4.2.1 Technologické podmínky měření

Pro experimentální měření byla použita tato zařízení:

- **Rovinná bruska BRH 20.03F;**
  - Řezná rychlosť  $v_c = 32 \text{ m.s}^{-1}$ ;
  - Posuvová rychlosť  $v_f = 21 \text{ m.min}^{-1}$ ;
  - Radiální záběr  $a_e = 0,005 \text{ mm}$ ;  
 $a_e = 0,04 \text{ mm}$ ;

Základní parametry brusky BRH 20.03F:

Pracovní plocha stolu: 200x630 mm;

Rozměry brousicího kotouče: 250 x 20 – 50 x 76 mm;

Rychlosť stolu regulačná: 1 – 30 m.min<sup>-1</sup>;

Otačky brousicího vretena: 2550 min<sup>-1</sup>;

- **Dynamický vyvažovací přístroj B2013;**

Před vlastním experimentem je nutné brousicí kotouč vyvážit, pro předcházení jeho nežádoucího kmitání a tím ke zhoršení kvality broušené plochy.

- **Měřící aparatura Spider 8**(Hotlinger Baldwin Messtechnik);

Umožňuje zobrazit řezné síly  $F_p$  a  $F_c$ .

- **Wattreg I** – měření příkonu brousicího vreteníku;

Pomocí tohoto přístroje lze získat efektivní výkon  $P_{ef}$ .

- **Dynamometr**, měřící rozsah 0 – 500N;

Pro měření tangenciální řezné síly  $F_c$  a radiální řezné síly  $F_p$

#### 4.2.2 Testované brousicí kotouče

Pro zkoušky byly použity vysoce póravité brousicí kotouče s keramickým pojivem, rozměr 250 mm x 20 mm x 76 mm.

Tabulka 3 Testované brousicí kotouče [17]

Číslo kotouče	Materiál brusiva	typ	struktura
9	Bílý korund	A99B 80I	12VS
11	Mikrokrytalický bílý korund 10%	AG92/99 80I	12VS
13	Mikrokrytalický bílý korund 30%	AG92/99 80I	12VS
15	Mikrokrytalický bílý korund 50%	AG92/99 80I	12VS

#### 4.2.3 Charakteristika materiálu pro testování

Pro testování brousicích kotoučů byla vybrána ocel ČSN 14 109. Patří mezi nejvíce používané slitinové oceli třídy 14. Vyznačuje se vlastnostmi jako je velká tvrdost, odolnost proti opotřebení, pevnost v tlaku a metalurgická čistota. Používá se zejména pro výrobu valivých ložisek.

Tabulka 4 Chemické složení materiálu ČSN 14 109. [14]

Chemické složení materiálu ČSN 14109	
<b>Uhlík</b>	0.98 - 1.10%
<b>Chrom</b>	1.30 - 1.60%
<b>Mangan</b>	0.25 - 0.45%
<b>Křemík</b>	0.15 - 0.35%
<b>Síra</b>	0.025% maximum
<b>Fosfor</b>	0.025% maximum

#### 4.2.4 Charakteristické veličiny procesu broušení v experimentu

Při experimentu byly sledovány a následně hodnoceny tyto hodnoty:

teplota broušeného povrchu  $T$ ; výkon brousícího vreteníku  $P_c$ , složky řezné sily  $F_c$  a  $F_p$ , měrná energie broušení  $e_c$ , hustota tepelného toku  $\phi_w$ , vzniklé teplo  $Q$ , hmotnost odbroušeného kovu  $m_t$  a objemového výkonu  $U_t$ , střední aritmetická drsnost profilu  $R_a$ , poměrný obrus  $G$ , nominální plocha řezu  $A_D$ , ekvivalentní hloubka broušení  $h_{eq}$ , koeficient účinnosti  $\eta$ , součinitel řezivosti  $\zeta$  a součinitel broušení  $\mu$ ;

### 4.3 Dopravné termodynamické jevy při broušení

Brousicí kotouč, obrobek a odbroušené elementy kovu tvoří v teoretické analýze procesu broušení termodynamickou soustavu. Veličiny charakterizující stav soustavy jsou:

*práce řezání, teplo, teplota, hmotnost a řezné prostředí.*

Celková kinetická energie a celková energie potencionální tvoří součet vnitřní energie soustavy. Při změně stavu tělesa dodáním práce dochází ke zvětšení teploty soustavy a její vnitřní energie. Znalost velikosti dodávané práce umožňuje určit i teplotu jednotlivých komponentů.

Dodávaná práce  $E_c$  je v procesu broušení kvantifikována použitými řeznými parametry a její velikost potřebná pro broušení v čase „ $t$ “ je obecně dána:

$$E_c \int_o^t F_c \cdot v_c \cdot dt$$

20

Přeměnou dodávané práce v teplo a podíl tepla přecházející do obrobku je dán:

$$Q_w = \varphi_w \frac{A_D}{10^6} \quad [\text{J.s}^{-1}]$$

21

kde  $\varphi_w$  je hustota proudění tepelného toku:

$$\varphi_w = \frac{Q \cdot q_w}{A_D \cdot 10^{-6} \cdot 10^2} = \frac{F_c \cdot v_c \cdot q_w \cdot 10^7}{A_D} = \frac{P_{ef} \cdot 10^3 \cdot q_w \cdot 10^7}{A_D} \quad [\text{J.s}^{-1} \cdot \text{m}^{-2}]$$

22

$\varphi_w$  ..... hustota proudění tepelného toku  $[\text{J.s}^{-1} \cdot \text{m}^{-2}]$

$P_{ef}$  ..... příkon brousícího vřeteníku  $[\text{kW}]$

$Q$  ..... množství tepla vzniklého přeměnou práce broušení  $[\text{J.s}^{-1}]$

$q_w$  ..... podíl tepla přecházejícího do obrobku  $[\%]$

$A_D$  ..... nominální plocha řezu  $[\text{mm}^2]$

Podle Fourierova zákona:

$$Q_w = \lambda \cdot A_D \cdot \frac{d\theta}{dl}$$

23

Kde  $\frac{d\theta}{dl}$  je teplotní gradient, který je možné s přibližností určit jako:

$$\frac{d\theta}{dl} = K(T_{def} - T_w)$$

24

$T_{def}$  ..... střední teplota deformační zóny  $[\text{°C}]$

$T_w$  ..... střední teplota obrobku v dané hloubce  $[\text{°C}]$

## 4.4 Kvantifikace brousicího procesu

Konkrétní hodnoty řezných parametrů a zjištěných efektivních příkonů a jednotlivých řezných sil jsou uvedeny v následující tabulce:

Tabulka 5 Použití brousicích kotoučů, stanovené řezné parametry a výsledky experimentů pro materiál ČSN 14 109.4 [17]

Číslo zkoušky	Číslo kotouče	BK 250 x 20 x 76 mm	Hloubka řezu [mm]	Řezná síla $F_p$ [N]	Řezná síla $F_c$ [N]	Efektivní výkon Pef [kW]
		vf = 21,0 m/min, vc = 32,0 m/s Materiál: ČSN 14 109.4				
1	80	A99 80I 8V	0,005	33,3	18,6	0,60
2	zrno bílý korund	keramické pojivo	0,040	143,8	105,9	3,39
3	81		0,005	48,6	24,7	0,79
4	zrno AG92 10%		0,040	245,4	115,6	3,70
5	83	AG92/99 80I 8V	0,005	39,4	20,2	0,65
6	zrno AG92 30%	mikrokrytalický bílý korund	0,040	224,5	107,4	3,44
7	85	keramické pojivo	0,005	44,4	21,9	0,70
8	zrno AG92 50%		0,040	220,2	103,1	3,30
9	120	A99B 80I 12VS	0,005	31,5	16,6	0,53
10	zrno bílý korund	keramické pojivo, porotvorné	0,040	197,0	97	3,10
11	121		0,005	32,2	16,3	0,52
12	zrno AG92 10%	AG92/99 80I 12VS	0,040	191,9	92,8	2,97
13	123	mikrokrytalický bílý korund	0,005	34,3	17,7	0,57
14	zrno AG92 30%	keramické pojivo	0,040	190,2	91,3	2,92
15	125	porotvorné látky	0,005	40,3	19,3	0,62
16	zrno AG92 50%		0,040	194,8	86,4	2,76

Ke komplexnímu hodnocení brousicích kotoučů byly aplikovány požadované charakteristické veličiny v procesu broušení, kvantifikované podle následujících kritérií:

#### 4.4.1 Ekvivalentní tloušťka třísky $h_{eq}$

ukazatel, který při broušení nahrazuje proměnlivou hloubku třísky  $a_e$ , je formulován z předpokladu, že objemy odbroušeného materiálu a materiálu rozvinutého rovnoměrně po povrchu brousicího kotouče o tloušťce  $h_{eq}$  při stejných řezných parametrech jsou stejné.

$$h_{eq} \frac{v_w}{60 \cdot v_c} \cdot a_e \text{ [mm]}$$

25

#### 4.4.2 Měrná energie broušení $e_c$

účinnost energetické stránky procesu broušení, energie spotřebovaná na odbroušení 1 mm<sup>3</sup> materiálu kovu za časovou jednotku. U hodnocení řezivosti brousicích kotoučů platí, že: ***čím menší je hodnota měrné energie  $e_c$ , tím lepší je řezivost brousicího kotouče.***

$$\frac{F_c \cdot V_c}{Q_t} \text{ [J.mm}^{-3}\text{]}$$

26

#### 4.4.3 Objemový výkon $U_t$

je definován jako úběr materiálů za jednu sekundu, ***se zvyšující se hodnotou  $U_t$  se zvyšuje i řezivost brousicího kotouče.***

$$U_t = \frac{V_t}{60} = \frac{a_e \cdot b_D \cdot 10^3 \cdot v_w}{60} \quad [\text{mm}^3 \cdot \text{s} - 1]$$

27

#### 4.4.4 Poměrný objemový obrus, (brusný poměr), $G$

určuje se z objemu odebraného materiálu, které připadá na jednotku objemu spotřebovaného zrnu. ***Čím větší je hodnota  $G$ , tím lepší je řezivost brousicího kotouče.***

$$G = \frac{V_m}{V_s} \quad [-]$$

28

#### 4.4.5 Součinitel účinnosti broušení $\eta$

je ukazatel, který hodnotí komplexně vliv řezné kapaliny, kvalitu brousicího kotouče, broušeného materiálu, popř. dalších parametrů při ostatních konstantních podmírkách. Udává množství energie, spotřebované na úběr  $1 \text{ mm}^3$  broušeného materiálu. ***Čím větší je hodnota součinitele účinnosti, tím lepší je řezivost brousicího kotouče.***

$$\eta = \frac{G}{e_c} [\text{mm}^3 \cdot J - 1]$$

29

#### 4.4.6 Součinitel broušení BK $\mu$

vyjadřuje poměr mezi pasivní a řeznou silou při broušení.

$$\mu = F_p / F_c$$

30

#### 4.4.7 Hustota tepelného toku $\varphi_w$

hodnotící množství tepla přecházející plochou  $1\text{m}^2$  obrobku v čase jedné sekundy.

$$\varphi_w = \frac{F_c \cdot v_c \cdot q_w \cdot 10^7}{A_D} \quad [\text{J} \cdot \text{s} - 1 \cdot \text{m}^{-2}]$$

31

#### 4.4.8 Vzniklé teplo Q

které se zvyšuje při zvětšení řezné rychlosti a složek řezných sil.

$$Q = F_c \cdot v_c \quad [\text{J} \cdot \text{s}^{-1}]$$

32

#### 4.4.9 Teplota třísek $t_t$

při menší teplotě třísek je kvalita broušení zpravidla vyšší.

$$t_t = \frac{6 \cdot 10^5 \cdot P_{ef} \cdot q_t}{v_w \cdot f_a \cdot a \cdot \rho \cdot c} + 20 \quad [^\circ\text{C}]$$

33

#### 4.4.10 Součinitel řezivosti BK $\xi$

je určen poměrem pasivní a řezné složky síly při broušení.

$$\xi = F_p / F_c$$

34

#### 4.4.11 Součinitel broušení

$$\mu = F_c / F_p$$

35

#### 4.4.12 Pasivní síla $F_p$

limituje tuhost soustavy při broušení a se zvyšující se sílou  $F_p$  klesá tuhost soustavy.

$$F_p \sim (1,0 \div 3,0) F_c \quad [N]$$

36

### 4.5 Stanovení teploty v povrchových vrstvách obrobku

Experimentální měření bylo zaměřeno na pozorování vlivu testovaných brousicích kontoučů na teplo vznikající při obrábění. Teplota v místě řezání při rozdílných hloubkách byla vypočtena z příkonu brousicího vřetene. Podle strukturních změn ve velmi tenkých okrajových vrstvách obrobku, lze nepřímo určit okamžitou teplotu popř. formulování závislosti:

$$T = f(h).$$

37

Ve většině případů byla optimální závislost exponenciální, kritériem pro volbu závislosti byla hodnota spolehlivosti.

Obecný tvar exponenciální funkce:

$$t_h = a \cdot e^{-(b \cdot h)}$$

38

Odhady potřebných parametrů byly stanoveny při aplikaci regresní analýzy z podmínky, že součet čtverců diference naměřených a teoretických hodnot bude minimální.

$$\ln t_h = \ln a - b \cdot h \cdot (\ln e)$$

39

Součet čtverců odchylek naměřených (skutečných) a vypočtených hodnot:

$$S = \sum (\ln t_h - \ln a + b \cdot h)^2$$

40

a odhad parametrů „a“ a „b“ jsou dány:

$$\frac{\partial S}{\partial b} = 0$$

41

$$\frac{\partial S}{\partial \ln a} = 0$$

42

Po provedení parciálních derivací a úpravě jsou hodnoty konstanty „a“ a exponentu „b“:

$$a = \exp \frac{\sum h \cdot \sum (h \cdot \ln t_h) - \sum \ln t_h \cdot \sum \ln h^2}{(\sum h)^2 - n \cdot \sum h^2}$$

43

$$b = \frac{n \cdot \sum h \cdot \ln t_h - \sum \ln t_h \cdot \sum h}{(\sum h)^2 - n \cdot \sum h^2}$$

44

S pomocí metody konečných prvků a uvedených rovnic vedení tepla v pevných látkách je možné kvantifikovat teplotu v místě kontaktu broušicího kotouče s broušeným povrchem včetně výpočtu maximální teploty obrobku ve stanovené hloubce pod povrchem. Při výpočtu je předpoklad lineárního šíření tepla v homogenním materiálu obrobku z oceli.

Aplikací diferenciálních rovnic vedení tepla v pevných látkách je možné provést jeho si-

mulaci šíření v obrobku:



45

$\lambda$  - koeficient tepelné vodivosti broušeného materiálu [ $\text{W} \cdot \text{m}^{-1} \cdot \text{K}^{-1}$ ] [3,17]

#### 4.5.1 Výsledky hodnot sledovaných charakteristik pro radiální záběr $a_e = 0,005$ mm[17]

Tabulka 6 Výsledné parametry testování pro materiál 14 109.4,  $a_e = 0,005$  mm[17]

Materiál 14 109.4	Symbol	Obsah sintrovaného korundu			
		0%	10%	30%	50%
AG92/99 80l(Gs)12VS					
A99 80L(Gs)12VS					
<b>Měřená veličina</b>					
radiální záběr	$a_e$ [mm]	0,005	0,005	0,005	0,005
Efektivní výkon broušení	$P_c$ [kW]	0,608	0,55	0,47	0,384
Pasivní složka řezné síly	$F_p$ [N]	42,8	38,7	33,0	27,0
Tangenciální složka řezné síly	$F_c$ [N]	19,0	17,2	14,7	12,0
Objemový výkon	$U_t$ [mm <sup>3</sup> /s]	17,5	17,5	17,5	17,5
Měrná energie broušení	$e_c$ [J/mm <sup>3</sup> ]	34,7	31,4	26,9	21,9
Ekvivalentní tloušťka broušení	$h_{eq}$ [mm]	5,469E-05	5,469E-05	5,469E-05	5,469E-05
poměrný obrus	G	10,96	11,33	11,94	12,15
množství tepla přecházející do obrobku	$Q_w$ [J/s]	486,4	440,0	376,0	307,2
hustota tepelného toku	$\varphi_w$ [J/s.m <sup>2</sup> ]	8,89E+11	8,05E+11	6,88E+11	5,62+11
množství tepla odváděné třískou	$Q_t$ [J/s]	121,6	110,0	94,0	76,8
vzniklé teplo	Q [J/s]	608	550	470	384
teplota třísek	$t_t$ [°]	1991	1803	1544	1265
součinitel řezivosti	$\xi = F_p/F_c$	2,250	2,250	2,250	2,250
součinitel broušení	$\mu = F_c/F_p$	0,444	0,444	0,444	0,444

#### 4.5.2 Výsledky hodnot sledovaných charakteristik pro radiální záběr $a_e = 0,04 \text{ mm}$

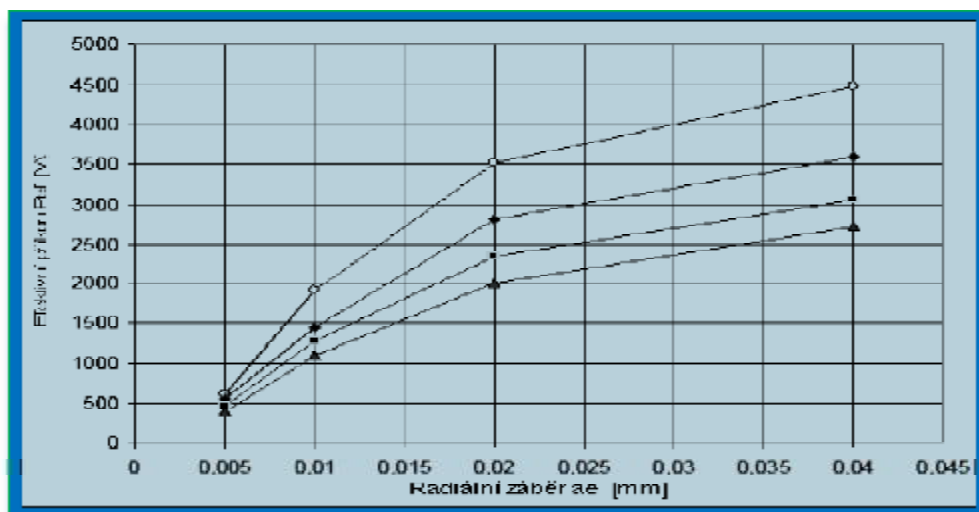
Tabulka 7 Výsledné parametry testování pro materiál 14 109.4,  $a_e = 0,04 \text{ mm}$  [17]

Materiál 14 109.4	Symbol	Obsah sintrovaného korundu			
		0%	10%	30%	50%
Označení brousicího kotouče AG92/99 80l(Gs)12VS A99 80L(Gs)12VS					
<b>Měřená veličina</b>	<b>Symbol</b>				
radiální záběr	$a_e [\text{mm}]$	0,04	0,04	0,04	0,04
Efektivní výkon broušení	$P_c [\text{kW}]$	4,48	3,58	3,04	2,72
Pasivní složka řezné síly	$F_p [\text{N}]$	280	224	190	170
Tangenciální složka řezné síly	$F_c [\text{N}]$	140,0	111,9	95,0	85,0
Objemový výkon	$U_t [\text{mm}^3/\text{s}]$	140,0	140,0	140,0	140,0
Měrná energie broušení	$e_c [\text{J/mm}^3]$	32,0	25,6	21,7	19,4
Ekvivalentní tloušťka broušení	$h_{eq} [\text{mm}]$	4,38E-04	4,38E-04	4,38E-04	4,38E-04
poměrný obrus	$G$	70,37	73,76	79,82	83,56
množství tepla přecházející do obrobku	$Q_w [\text{J/s}]$	3584,00	2864,00	2432,00	2176,00
hustota tepelného toku	$\varphi_w [\text{J/s.m}^2]$	8,19E+11	6,55E+11	5,56E+11	4,97E+11
množství tepla odváděné třískou	$Q_t [\text{J/s}]$	896,0	716,0	608,0	544,0
vzniklé teplo	$Q [\text{J/s}]$	4480	3580	3040	2720
teplota třísek	$t_t [^\circ]$	1835	1471	1252	1102
součinitel řezivosti	$\xi = F_p/F_c$	2,000	2,000	2,000	2,000
součinitel broušení	$\mu = F_c/F_p$	0,5	0,5	0,5	0,5

## 4.6 Grafické znázornění závislosti

Výsledky chování testovaných brousicích kotoučů, při stejných řezných podmírkách jsou znázorněny v následujících grafech.

### 4.6.1 Závislost efektivního výkonu při broušení materiálu ČSN 14 109.4

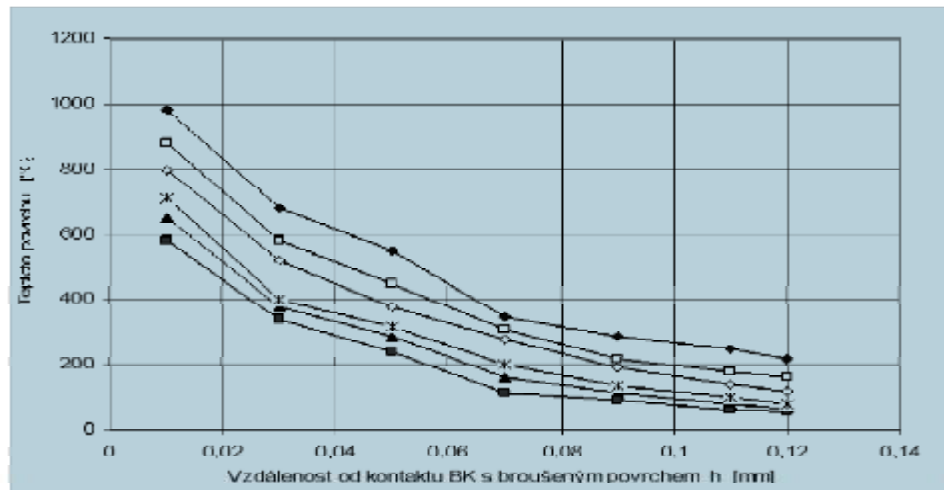


Obrázek 16 Graf závislosti efektivního výkonu u broušení na radiálním záběru[17]

Tabulka 8 Legenda ke grafu závislosti efektivního výkonu u broušení na radiálním Záběru [17]

Materiál: ČSN 14 109.4	Závislost $P_{ef} = f(ae)$
<b>radiální záběr <math>a_e = 0,005</math></b>	
Brousicí kotouč	sintrovaný korund $vf = 21,0 \text{ m/min}, vc = 32,0 \text{ m/s}$
<b>A99B 80L (GS) 12VS</b>	0%    ○ $P_{ef} = 1906. \ln.ae + 10752$
<b>AG92/99 80I (GS)12VS</b>	10%    ● $P_{ef} = 1506. \ln.ae + 8508$
<b>AG92/99 80I (GS)12VS</b>	30%    ■ $P_{ef} = 1264. \ln.ae + 7167$
<b>AG92/99 80I (GS)12VS</b>	50%    ▲ $P_{ef} = 1143. \ln.ae + 6427$

#### 4.6.2 Závislost teploty obrobku na vzdálenosti od kontaktu brousicího kotouče s broušenou plochou u materiálu ČSN 14 109.4



Obrázek 17 Graf závislosti teploty obrobku u broušení materiálu ČSN 14 109.4[17]

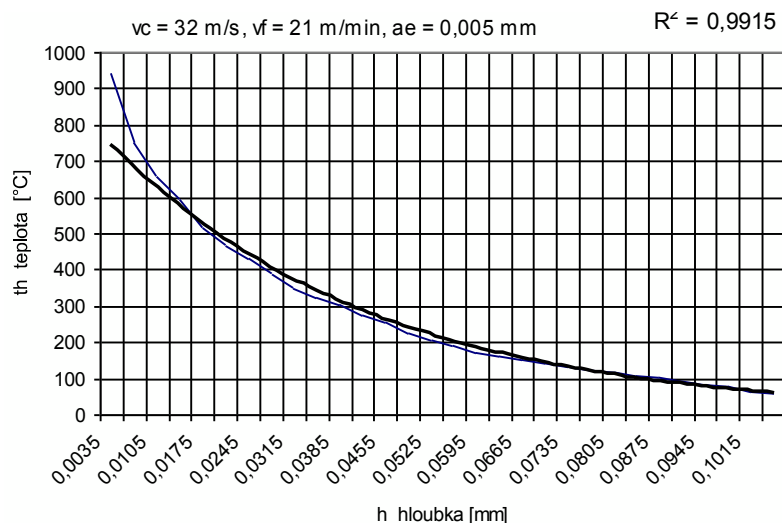
Tabulka 9 Legenda ke grafu č 2 Analytická formulace závislosti teploty obrobku na vzdálenosti od kontaktu brousicího kotouče s broušenou plochou [17]

Materiál ČSN 14 109.4		Závislost $T = f(h)$	
Brousicí kotouč	Sintr.korund	vf = 21,0 m/min, vc = 32,0 m/min	
A99 B80L (Gs) 12VS	0%	♦ ae = 0,04mm	T = 1044,1e^(-13,5. h)
AG92/9980L(Gs)12VS	10%	□ ae = 0,04mm	T = 961,4.e^(-15,4. h)
AG92/9980L(Gs)12VS	30%	◊ ae = 0,04mm	T = 905,3.e^(-17,0. h)
AG92/9980L(Gs)12VS	50%	⊗ ae = 0,04mm	T = 794,7.e^(-19,2. h)
AG92/9980L(Gs)12VS	50%	■ ae = 0,02mm	T = 792,2.e^(-18,8. h)
AG92/9980L(Gs)12VS	50%	▲ ae = 0,005mm	T = 665,9.e^(-21,8. h)

#### 4.6.2.1 Testovaný brousicí kotouč A99 80I 12VS

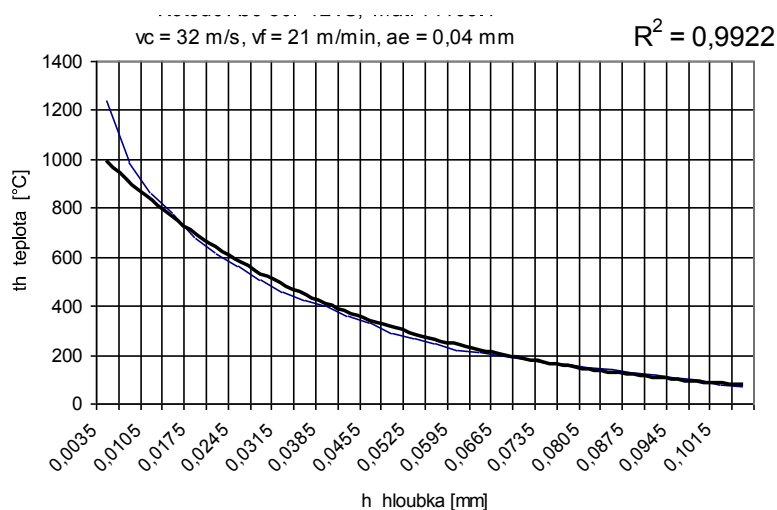
Příklad grafického znázornění závislosti teploty obrobku na vzdálenosti od kontaktu brousicího kotouče s broušenou plochou při broušení mat. ČSN 14109.4 pro etalonový brousicí kotouč s radiálním záběrem

a)  $a_e = 0,005 \text{ mm}$



Obrázek 18 Graf závislosti teploty na vzdálenosti od broušené plochy  $t_h = f_{(h)}$

b)  $a_e = 0,04 \text{ mm}$



Obrázek 19 Graf závislosti teploty na vzdálenosti od broušené plochy  $t_h = f_{(h)}$

## 5 VÝSLEDKY A VYHODNOCENÍ ZJIŠTĚNÝCH PARAMETRŮ

### 5.1 Vstupní hodnoty a výsledek měření pro materiál ČSN 14 109.4 při radiálním záběru $a_e$ 0,005 mm

Tabulka 10 Výsledky měření pro  $a_e$  0,005 mm [17]

Mat. ČSN 14 109.4					
BK AG 92/99 80L (Gs) 12VS		Sintrovaný korund			
BK A99 80L (Gs)	Symbol	0%	10%	30%	50%
12VS,					
Radiální záběr	$a_e$ [mm]	0,005	0,005	0,005	0,005
Efektivní výkon broušení	Pc [kW]	0,608	0,55	0,47	0,384
Pasivní složka řezné síly	Fp [N]	42,8	38,7	33	27
Tangenciální složka řezné síly	Fc [N]	19	17,2	14,7	12
Střední aritmetická drsnost povrchu	Ra [ $\mu\text{m}$ ]	0,42	0,39	0,38	0,35
Měrná energie broušení	ec [ $\text{J/mm}^3$ ]	34,70	31,40	26,90	21,90
Hustota tepelného toku	$\phi_w$ [ $\text{J/s.m}^2$ ]	8,89E+11	8,05E+11	6,88E+11	5,62E+11
Vzniklé teplo	$Q =$ [ $\text{J/s}$ ]	608,0	550,0	470,0	384,0
Hmotnost odbroušeného kovu	mt [ $\text{kg/min}$ ]	0,0082	0,0082	0,0082	0,0082
Objemový výkon	Ut [ $\text{mm}^3/\text{s}$ ]	17,50	17,50	17,50	17,50
Ekvivalentní hloubka broušení	heq [mm]	5,47E-05	5,47E-05	5,47E-05	5,47E-05
Nominální plocha řezu	AD [ $\text{mm}^2$ ]	5,47E-04	5,47E-04	5,47E-04	5,47E-04
Objemové opotřebení BK	Vs [ $\text{mm}^3/\text{min}$ ]	95,70	92,70	88,00	86,40
Poměrný obrus (brusný poměr)	G	11,0	11,3	11,9	12,2
Koefficient účinnosti	$\eta$ [ $\text{mm}^3/\text{J}$ ]	0,32	0,36	0,44	0,55
Součinitel řezivosti BK	$\zeta$	2,25	2,25	2,25	2,25

## 5.2 Vstupní hodnoty a výsledek měření pro materiál ČSN 14 109.4 při radiálním záběru $a_e$ 0,04 mm

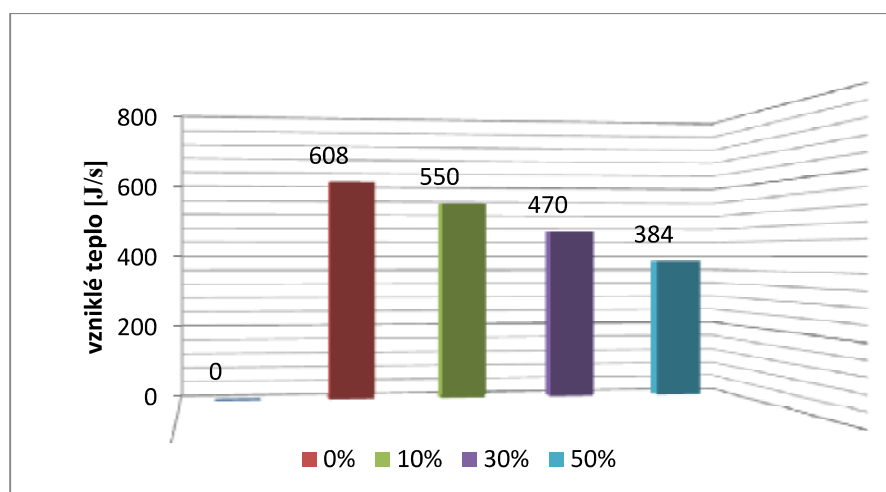
Tabulka 11 Výsledky měření pro  $a_e$  0,04 mm [17]

Mat. ČSN 14 109.4					
<b>BK AG 92/99 80L (Gs) 12VS</b>	Sintrovaný korund				
<b>BK A99 80L (Gs) 12VS,</b>	Symbol	0%	10%	30%	50%
<b>Radiální záběr</b>	$a_e$ [mm]	0,04	0,04	0,04	0,04
<b>Efektivní výkon broušení</b>	Pc [kW]	4,48	3,58	3,04	2,72
<b>Pasivní složka řezné síly</b>	Fp [N]	280	224	190	170
<b>Tangenciální složka řezné síly</b>	Fc [N]	140	112	95	85
<b>Střední aritmetická drsnost povrchu</b>	Ra [ $\mu\text{m}$ ]	0,64	0,60	0,61	0,58
<b>Měrná energie broušení</b>	ec [ $\text{J/mm}^3$ ]	32,00	25,60	21,70	19,40
<b>Hustota tepelného toku</b>	$\varphi_w$ [ $\text{J/s.m}^2$ ]	8,19E+11	6,55E+11	5,56E+11	4,97E+11
<b>Vzniklé teplo</b>	$Q =$ [J/s]	4480,0	3580,0	3040,0	2720,0
<b>Hmotnost odbroušeného kovu</b>	mt [ $\text{kg/min}$ ]	0,0655	0,0655	0,0655	0,0655
<b>Objemový výkon</b>	Ut [ $\text{mm}^3/\text{s}$ ]	0,00	0,00	0,00	0,00
<b>Ekvivalentní hloubka broušení</b>	heq [mm]	4,38E-0,4	4,38E-0,4	4,38E-0,4	4,38E-0,4
<b>Nominální plocha řezu</b>	AD [ $\text{mm}^2$ ]	4,38E-03	4,38E-03	4,38E-03	4,38E-03
<b>Objemové opotřebení BK</b>	Vs [ $\text{mm}^3/\text{min}$ ]	119,40	113,90	105,20	100,50
<b>Poměrný obrus (brusný poměr)</b>	G	70,4	73,8	79,8	83,6
<b>Koeficient účinnosti</b>	$\eta$ [ $\text{mm}^3/\text{J}$ ]	2,20	2,89	3,68	4,30
<b>Součinitel řezivosti BK</b>	$\zeta$	2,00	2,00	2,00	2,00

## 6 GRAFICKÉ ZNÁZORNĚNÍ A POROVNÁNÍ VÝSLEDNÝCH CHARAKTERISTIK

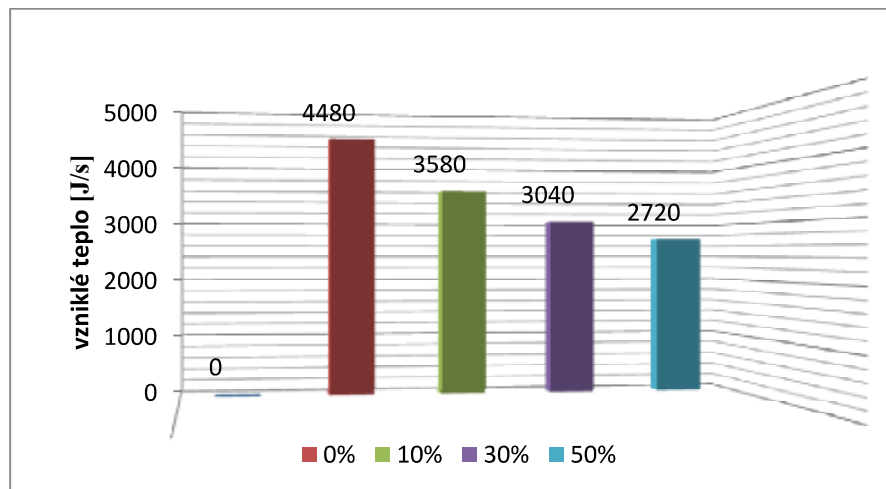
Následující grafy zobrazují výsledky hodnot sledovaných charakteristik při použití brousicích kotoučů s různým obsahem mikrokryštallického korundu proti standardnímu kotouči.

### 6.1 Množství vzniku tepla při radiálním záběru $a_e = 0,005$ mm pro materiál ČSN 14 109.4 podle obsahu mikrokryštallického korundu



Obrázek 20 Graf množství tepla pro radiální záběr  $a_e = 0,005$  mm [17]

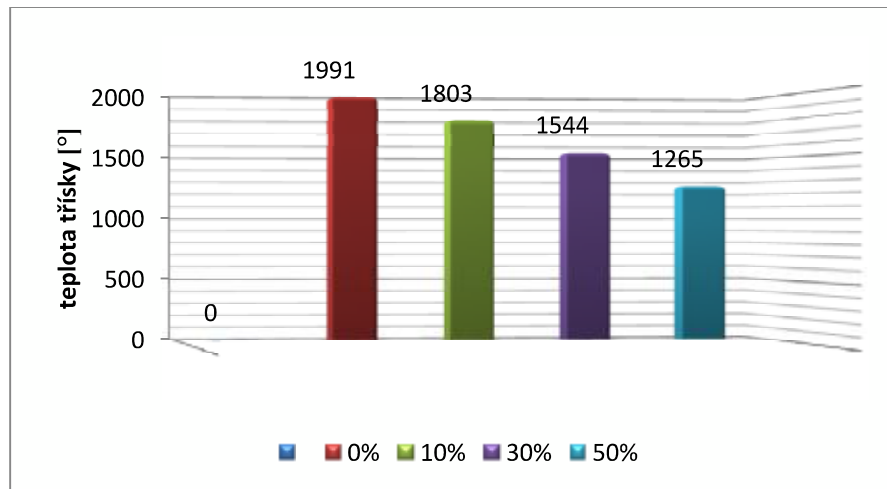
### 6.2 Množství vzniku tepla při radiálním záběru $a_e = 0,04$ mm pro materiál ČSN 14 109.4 podle obsahu mikrokryštallického korundu



Obrázek 21 Graf množství tepla pro radiální záběr  $a_e = 0,04$  mm[17]

### 6.3 Teplota třísek při radiálním záběru $a_e$ 0,005 mm pro materiál

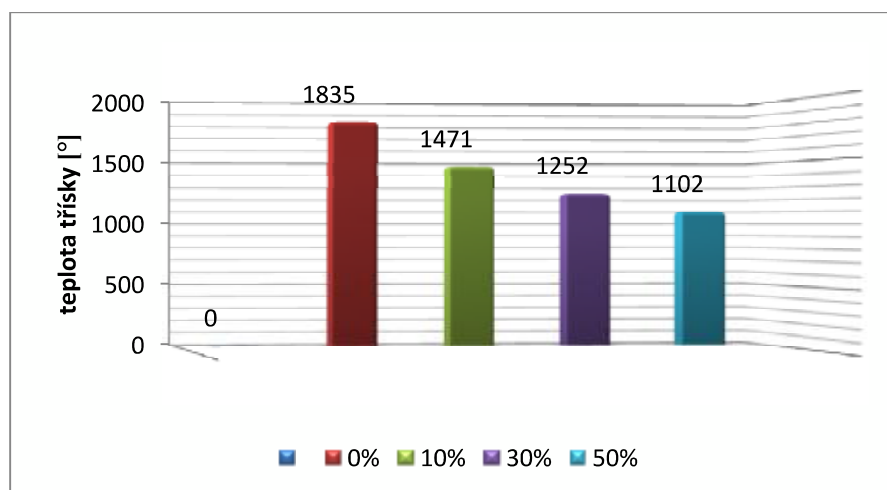
ČSN 14 109.4 podle obsahu mikrokryštalického korundu



Obrázek 22 Graf teplota třísky pro  $a_e$  0,005 mm[17]

### 6.4 Teplota třísek při radiálním záběru $a_e$ 0,04 mm pro materiál

ČSN 14 109.4 podle obsahu mikrokryštalického korundu

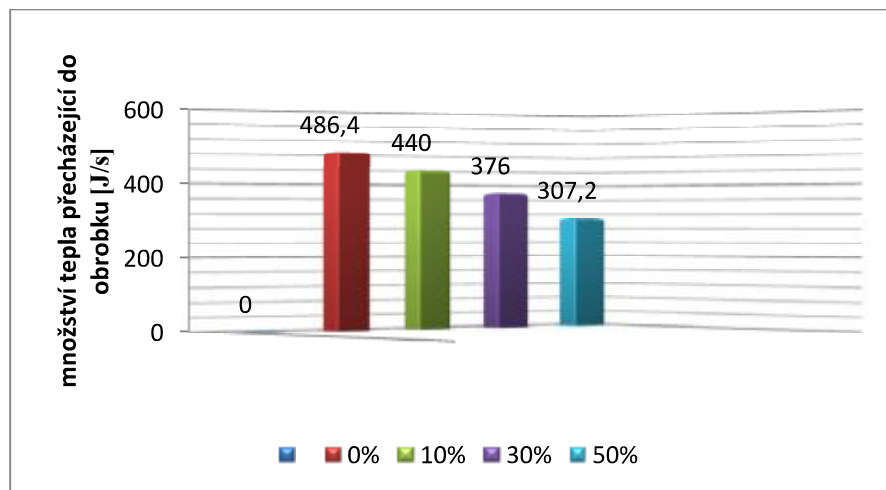


Obrázek 23 Graf teplota třísky pro  $a_e$  0,04 mm[17]

## 6.5 Množství tepla přecházející do obrobku při radiálním záběru

$a_e$  0,005 mm pro materiál ČSN 14 109.4 podle obsahu

mikrokrytalického korundu

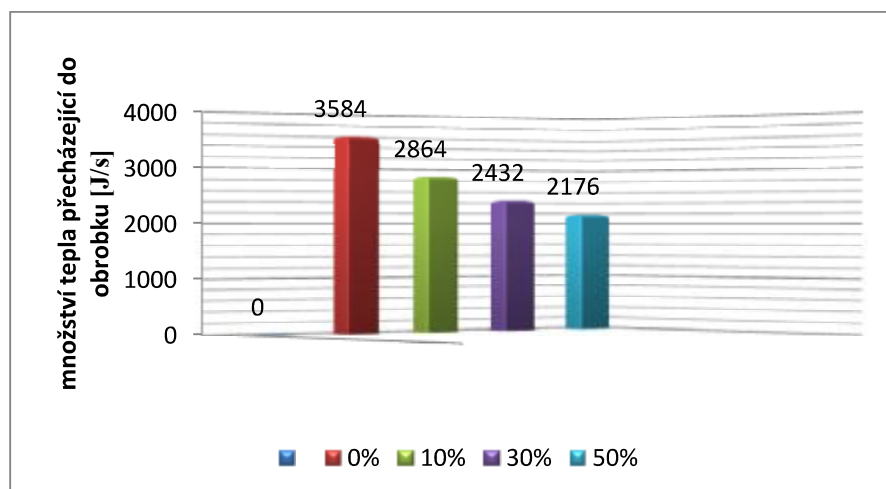


Obrázek 24 Graf množství tepla přecházející do obrobku při  $a_e$  0,005 mm[17]

## 6.6 Množství tepla přecházející do obrobku při radiálním záběru

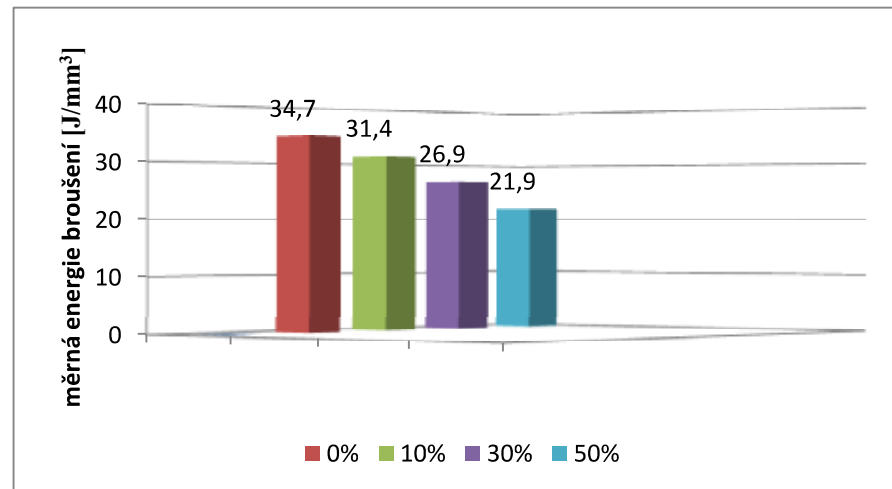
$a_e$  0,04 mm pro materiál ČSN 14 109.4 podle obsahu

mikrokrytalického korundu



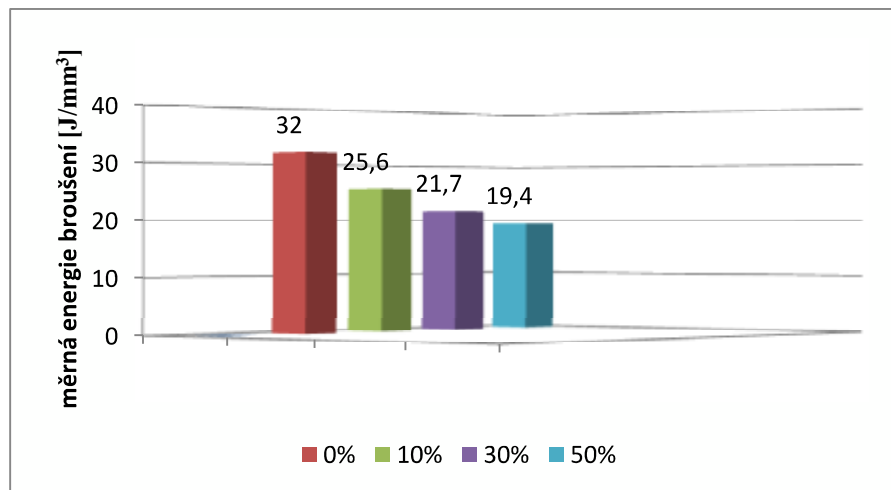
Obrázek 25 Graf množství tepla přecházející do obrobku při  $a_e$  0,04 mm[17]

## 6.7 Měrná energie broušení při radiálním záběru $a_e$ 0,005 mm pro materiál ČSN 14 109.4 podle obsahu mikrokryštalického korundu



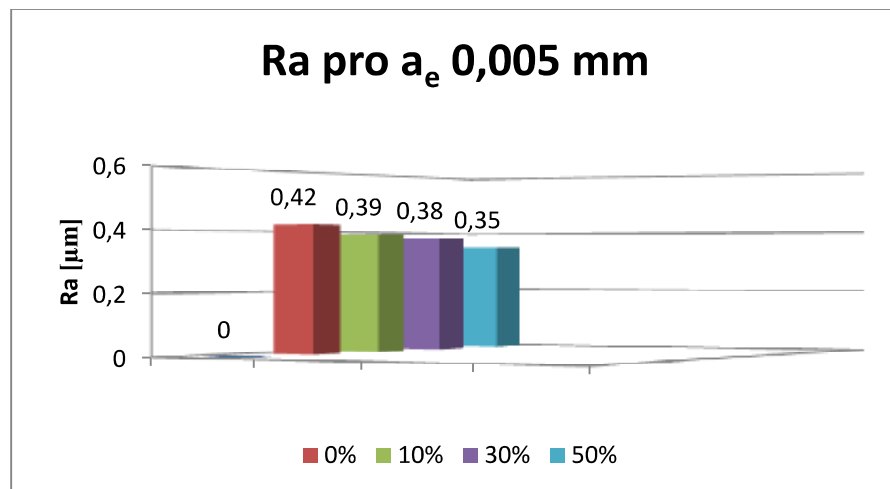
Obrázek 26 Graf měrná energie broušení pro  $a_e$  0,005mm [17]

## 6.8 Měrná energie broušení při radiálním záběru $a_e$ 0,04 mm pro materiál ČSN 14 109.4 podle obsahu mikrokryštalického korundu



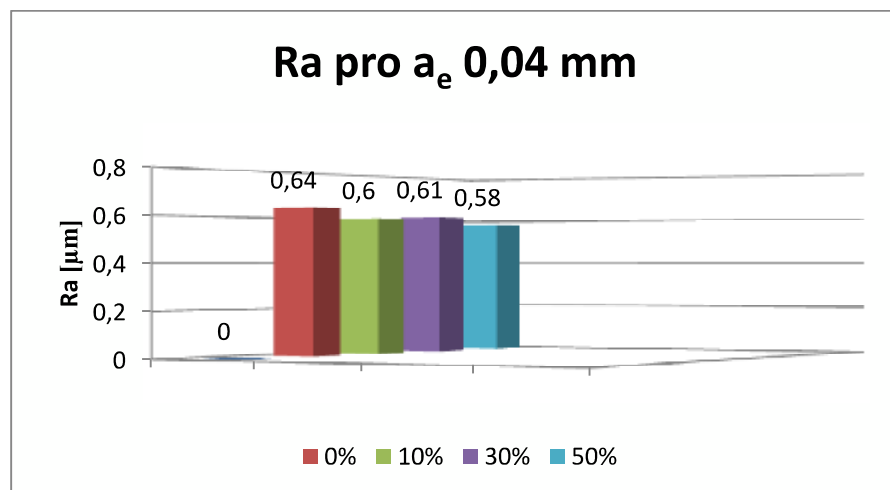
Obrázek 27 Graf měrná energie broušení pro  $a_e$  0,04 mm[17]

**6.9 Střední aritmetická drsnost povrchu pro radiální záběr  $a_e$  0,005 mm pro materiál ČSN 14 109.4 podle obsahu mikrokryštallického korundu**



Obrázek 28 Graf drsnosti obrobeného povrchu pro  $a_e$  0,005 mm[17]

**6.10 Střední aritmetická drsnost povrchu pro radiální záběr  $a_e$  0,04 mm pro materiál ČSN 14 109.4 podle obsahu mikrokryštallického korundu**



Obrázek 29 Graf drsnosti obrobeného povrchu pro  $a_e$  0,04 mm[17]

## ZÁVĚR

Cílem této diplomové práce bylo provedení analýzy termodynamických jevů při aplikaci brousicích kotoučů s různým obsahem sintrovaného korundu. Na základě provedených experimentů a teoretického studia je možné stanovit některé obecné závěry. Stav povrchové vrstvy je z velké části ovlivněn množstvím tepla přeneseného do obrobku, velikost vzniklého reziduálního napětí je v přímé úměrnosti k teplu generovanému během broušení. V povrchové vrstvě broušené součásti dochází k elastické a plastické deformaci a také ke strukturálním změnám. Podle velikosti vzniklých objemových změn v jednotlivých vrstvách poté dochází k vytváření tahového nebo tlakového reziduálního napětí. Tlakové napětí je považováno za pozitivní, protože způsobuje zvýšení únavové pevnosti a zlepšuje odolnost povrchu proti otěru. Tahové napětí je negativním faktorem, který snižuje únavovou pevnost a podporuje poškození dynamicky namáhaných povrchů.

V rámci experimentu bylo na broušeném materiálu ČSN 14109.4 sledováno chování brousicích kotoučů AG92/99 80I(Gs) 12 VS s rozdílným obsahem mikrokristalického korundu (10%, 30% a 50%) proti kotouči A99 80L 12 V. Zejména jejich vliv na teplo vzniklé při broušení. Z naměřených výsledků lze konstatovat skutečnost, že kotouče se zvyšujícím procentuálním podílem sintrovaného korundu vykazují lepší výsledky než standardní kotouč. Tato skutečnost je v uvedených příkladech velmi dobře viditelná v grafickém vyjádření. Ze získaných výsledků sledovaných parametrů lze stanovit tyto závěry:

Při aplikaci brousicích kotoučů s rostoucím obsahem sintrovaného korundu dochází k poklesu hodnot proti standardnímu kotouči u:

- efektivního výkonu  $P_e$  pro hloubku broušení  $a_e$  0,005 mm 90,46 % (10% sintrovaného korundu, dále jen SK), 77,30% (30% SK) až na 63,16% (50%SK);  
pro  $a_e$  0,04 mm na 60,71%, pasivní složky řezné síly  $F_p$  63,08% a 60,70%, tangenciální  $F_c$  až na 63,15% a 60,71%;
- měrné energie  $e_e$  pro  $a_e$  0,005 mm 90,48% (10%SK), 77,52% (30% SK)  
na 63,11 % (50%SK);  
u  $a_e$  0,04 mm 80% (10%SK), 67,81% (30% SK), 60,62% (50%SK);  
hustota tepelného toku  $\varphi_w$  až 63,21% a 60,68%;
- vzniklého tepla a množství tepla přecházející do obrobku u  $a_e$  0,005 mm  
90,46%(10%SK), 77,30%(30% SK), 63,15% (50%SK);  
pro  $a_e$  0,04 mm 79,91% (10%SK), 67,85% (30% SK), 60,71% (50%SK);

- teploty třísky  $t_t$  pro  $a_e$  0,005 mm na 90,55% (10%SK), 77,54% (30% SK), 63,53% (50%SK), pro  $a_e$  0,04 mm 80,76% (10%SK), 62,22% (30% SK) 60,05% (50%SK);
- střední aritmetické drsnosti povrchu  $R_a$  pro  $a_e$  0,005 mm na 92,85% (10%SK), 90,47% (30% SK), 83,33% (50%SK);  
 $a_e$  0,04 mm 93,75% (10%SK), 95,31% (30%SK), 90,62% (50%SK);
- hodnoty u objemového výkonu  $U_t$  a součinitele řezivosti  $\zeta$  zůstaly nezměněny;
- poměrného obrusu  $G$ , což je poměr materiálu odebraného z obrobku k objemu opotřebení brousicího kotouče, který byl porovnán z hlediska trvanlivosti nástroje až na 110,90% a 118,75%;

Výsledek experimentu dokazuje možnost realizace broušení za vyšších podmínek integrity povrchu tepelným zatížením, menších řezných sil a el. příkonu. Ze zjištěných výsledných charakteristik povrchové vrstvy obrobku na určitých parametrech lze konstatovat, že použití brousicích kotoučům bázi sintrovaných korundů ve výrobním procesu je v oblasti ekonomické velkým přínosem. Použití těchto kotoučů vede ke snížení teploty povrchu a tím k eliminaci nežádoucího tahového pnutí ovlivněného přísunem a teplotou, které poškozuje povrchovou vrstvu. Lepší výsledné parametry vedou k vyšší produktivitě, větší trvanlivosti kotouče, vyšší požadované kvalitě povrchu a tím ke snížení nákladů.

## SEZNAM POUŽITÉ LITERATURY

- [1]AB SANDVIK COROMANT – SANDVIK CZ, s r.o. *Příručka obrábění*. přel. M. Kudela. 1. vyd. Praha: Scientia, s r.o., 1997, s. 857, ISBN 91-97-22 99-4
- [2]BRYCHTA, J.; ČEP, R.; SADÍLEK, M. aj. *Nové směry v progresivním obrábění*. 1. vyd. Ediční středisko VŠB – TUO, 2007, s. 251, ISBN 978-80-248-1505-3
- [3]KOCMAN, K. *Technologické procesy obrábění*. 1. vyd. Brno. Akademické nakladatelství CERM s r.o. Brno, 2011, s. 330, ISBN 978-80-7204-722-2
- [4]KOCMAN, K.; PROKOP, J. *Technologie obrábění*. 1. vyd. Brno: Akademické nakladatelství CERM, s.r.o. Brno, 2001, s. 270, ISBN 80-214-1996-2
- [5]KOCMAN, K. *Analysis of development grinding Wheel on the basis of microcrystalline corundum*. In Manufacturing Technology, journal for science and production, December 2010, vol. X, s. 2-10. ISSN 1213-2489
- [6]KŘÍŽ, R.; VÁVRA, P. *Strojírenská příručka* 7. svazek 1. vyd. Praha: Scientia, s r.o., 1996, s. 212, ISBN 80-7183-024-0
- [7]LUKOVICS, I.; SÝKOROVÁ, L.: *Stanovení řezivosti brousicích kotoučů pro vysokovýkonné broušení*. In.: *Sborník Mezinárodní konference Nástroje 99*: Zlín, ČR, 1999, s. 96 – 102
- [8]MASLOV, J. N.: *Teorie broušení kovů*. 1. vyd. Praha: SNTL, 1980, s. 246
- [9]MÁDL, J.; BARCAL, J.: *Základy technologie II*, vydalo nakladatelství ČVUT, Praha, 2002, s. 55, ISBN 80-01-02610-8
- [10]MIKOVEC, M. *Obrábění materiálů s velkou pevností a tvrdostí*. 1. vyd. Praha: SNTL, 1982, s. 200
- [11] NANOTECHNOLOGIE <http://www.nanotechnology.cz/storage/Nano02.pdf>
- [12]NOVOTNÝ, J.; ŠANOVEC, J.; BEDNÁŘ, B., aj. *Technologie I*. 2. vyd. nakladatelství ČVUT Praha, 2006, s. 227
- [13]OBRÁZKY UMĚLÝCH BRUSIV dostupné na:  
<http://www.abranova.cz/editor/filestore/Image/Brusne%20materialy>
- [14]PTÁČEK, L. a kol.: *Nauka o materiálu I*. Akademické nakladatelství CERM s r.o. Brno, 2001, s. 505, ISBN 80-7204-193-2
- [15]ŘASA, J.; HANĚK, V.; KAFKA, J.: *Strojírenská technologie 4*. 1. vyd. Praha: Scientia, s r.o., 2003, s. 505, ISBN 80-7183-284-7

[16]SPECIÁLNÍ BRUSNÁ ZRNA, dostupné na: <http://www.abranova.cz/brusne-materialy/specialni-brusne-zrna/htm>

[17]ZDROJ VLASTNÍ

## SEZNAM POUŽITÝCH SYMBOLŮ A ZKRATEK

$A_D$	[mm <sup>2</sup> ]	nominální plocha řezu
$A$	[mm <sup>2</sup> ]	průřez odebírané vrstvy
$a$	[mm]	odhad parametru, konstanty
$a_e$	[mm]	radiální záběr
$a_{\max}$	[mm]	maximální tloušťka třísky
$b_D$	[mm]	šířka broušení
$b$	[mm]	odhad parametru, exponentu
$c$	[J.kg <sup>-1</sup> K <sup>1</sup> ]	měrná tepelná kapacita broušeného kovu
$d_w$	[mm]	průměr obrobku
$e_c$	[J.mm <sup>-3</sup> ]	měrná energie broušení
$f_a$	[mm.zdvih <sup>1</sup> ]	šířka broušené plochy (axiální posuv)
$F$	[N]	celková síla
$F_c$	[N]	tangenciální složka řezné síly
$F_p$	[N]	pasivní složka řezné síly
$F_f$	[N]	posuvová složka řezné síly
$G$	[ $\cdot$ ]	brusný poměr
$h$	[mm]	vzdálenost od broušeného povrchu
$h_{eq}$	[mm]	ekvivalentní tloušťka třísky
$k_c$	[MPa]	měrná řezná síla
$m_t$	[kg.min <sup>-1</sup> ]	hmotnost obroušeného kovu (třísek
$P_c$	[kW]	efektivní výkon
$T$	[°C]	průběh teploty v broušeném povrchu
$Q$	[J.s <sup>-1</sup> ]	teplota
$Q_k$	[J.s <sup>-1</sup> ]	teplota přestupující do kotouče
$Q_t$	[mm <sup>3</sup> ]	objem obroušeného materiálu

$Q_w$	[mm <sup>3</sup> .s <sup>-1</sup> ]	teplota přecházejícího do obrobku
$q_t$	[%]	podíl tepla přecházejícího do třísek
$q_w$	[%]	podíl tepla přecházejícího do obrobku
$t_t$	[°C]	teplota třísky
$t_h$	[°C]	teplota součástky ve vzdálenosti h od povrchu
$U_t$	[mm <sup>3</sup> .s <sup>-1</sup> ]	objemový výkon
$v_c$	[m.s <sup>-1</sup> ]	řezná rychlosť
$v_f$	[m.min <sup>-1</sup> ]	posuvová rychlosť
$v_w$	[m.min <sup>-1</sup> ]	obvodová rychlosť obrobku
$W$	[-]	objemový součinitel třísek
$\phi$	[J.s <sup>-1</sup> .m <sup>-2</sup> ]	hustota tepelného toku
$\lambda$	[W.m <sup>-1</sup> .K <sup>-1</sup> ]	koeficient tepelné vodivosti broušeného materiálu
$\rho$	[kg.dm <sup>-3</sup> ]	hustota broušeného kovu
$\alpha_n$	[rad]	normálový úhel hřbetu
$\beta_1$	[°]	mez plastické deformace
$\gamma_n$	[rad]	normálový úhel ostří
$r_n$	[mm]	poloměr zaoblení ostří
$\xi$	[-]	součinitel řezivosti BK
$\mu$	[-]	součinitel broušení BK
$\eta$	[mm <sup>3</sup> .J <sup>-1</sup> ]	součinitel účinnosti broušení
°C		stupeň Celsia, jednotka teploty
mm		milimetr - jednotka délkového rozměru
µm		mikrometr - jednotka délkového rozměru
MPa		jednotka tlaku, napětí

## SEZNAM OBRÁZKŮ

Obrázek 1 Model záběru brousicího zrna .....	13
Obrázek 2 Hlavní a posuvový pohyb u procesu broušení [2].....	16
Obrázek 3 Rovinné broušení, přímočarý pohyb stolu[3].....	18
Obrázek 4 Obvodové broušení s axiálním posuvem[3].....	19
Obrázek 5 Broušení dle pohybu stolu [2] .....	20
Obrázek 6 Schéma řezné a spojovací části brousícího kotouče [3].....	21
Obrázek 7 Názorný příklad označení brousícího kotouče [6] .....	22
Obrázek 8 Druhy struktury brousícího kotouče [2] .....	24
Obrázek 9 Upínání brousícího kotouče pomocí přírub [2] .....	26
Obrázek 10 Umělý bílý korund [13].....	28
Obrázek 11 Umělý růžový korund[13].....	28
Obrázek 12 Umělý hnědý korund [13] .....	29
Obrázek 13 Karbid křemíku [13].....	30
Obrázek 14 Znázornění ekvivalentní tloušťky třísky[3].....	39
Obrázek 15 Úhly jednotlivých zrn brusiva [2] .....	40
Obrázek 16 Graf závislosti efektivního výkonu u broušení na radiálním záběru[17] .....	53
Obrázek 17 Graf závislosti teploty obrobku u broušení materiálu ČSN 14 109.4[17].....	54
Obrázek 18 Graf závislosti teploty na vzdálenosti od broušené plochy $t_h = f(h)$ .....	55
Obrázek 19 Graf závislosti teploty na vzdálenosti od broušené plochy $t_h = f(h)$ .....	55
Obrázek 20 Graf množství tepla pro radiální záběr $a_e 0,005 \text{ mm}$ [17] .....	58
Obrázek 21 Graf množství tepla pro radiální záběr $a_e 0,04 \text{ mm}$ [17] .....	58
Obrázek 22 Graf teplota třísky pro $a_e 0,005 \text{ mm}$ [17].....	59
Obrázek 23 Graf teplota třísky pro $a_e 0,04 \text{ mm}$ [17] .....	59
Obrázek 24 Graf množství tepla přecházející do obrobku při $a_e 0,005 \text{ mm}$ [17].....	60
Obrázek 25 Graf množství tepla přecházející do obrobku při $a_e 0,04 \text{ mm}$ [17].....	60
Obrázek 26 Graf měrná energie broušení pro $a_e 0,005\text{mm}$ [17].....	61
Obrázek 27 Graf měrná energie broušení pro $a_e 0,04 \text{ mm}$ [17].....	61
Obrázek 28 Graf drsnosti obrobeného povrchu pro $a_e 0,005 \text{ mm}$ [17].....	62
Obrázek 29 Graf drsnosti obrobeného povrchu pro $a_e 0,04 \text{ mm}$ [17].....	62

**SEZNAM TABULEK**

Tabulka 1 Znázornění rozlišení zrnitosti [6].....	23
Tabulka 2 Kvalitativní parametry [3] .....	33
Tabulka 3 Testované brousicí kotouče [17].....	43
Tabulka 4 Chemické složení materiálu ČSN 14 109. [14] .....	44
Tabulka 5 Použití brousicích kotoučů, stanovené řezné parametry a výsledky .....	46
Tabulka 6 Výsledné parametry testování pro materiál 14 109.4, $a_e = 0,005 \text{ mm}$ [17] .....	51
Tabulka 7 Výsledné parametry testování pro materiál 14 109.4, $a_e = 0,04 \text{ mm}$ [17] .....	52
Tabulka 8 Legenda ke grafu závislosti efektivního výkonu u broušení na radiálním .....	53
Tabulka 9 Legenda ke grafu č 2 Analytická formulace závislosti teploty obrobku na vzdálenosti od kontaktu brousicího kotouče s broušenou plochou [17] .....	54
Tabulka 10 Výsledky měření pro $a_e 0,005 \text{ mm}$ [17].....	56
Tabulka 11 Výsledky měření pro $a_e 0,04 \text{ mm}$ [17].....	57

